

Федеральное государственное автономное
образовательное учреждение
высшего образования
«СИБИРСКИЙ ФЕДЕРАЛЬНЫЙ УНИВЕРСИТЕТ»
ПОЛИТЕХНИЧЕСКИЙ ИНСТИТУТ
РиТК
кафедра

УТВЕРЖДАЮ
Заведующий кафедрой
_____ Г.Б. Масальский
подпись
«_____» _____ 2018 г.

БАКАЛАВРСКАЯ РАБОТА

15.03.06. Мехатроника и робототехника

Система управления климатом здания

Руководитель	_____	_____	<u>Г.Б. Масальский</u>
	подпись, дата	должность, ученая степень	
Студент	_____		<u>Д.С. Гендик</u>
	подпись, дата		
Нормоконтролер	_____		<u>В.Н. Куликова</u>
	подпись, дата		

Красноярск 2018

Федеральное государственное автономное
образовательное учреждение
высшего образования
«СИБИРСКИЙ ФЕДЕРАЛЬНЫЙ УНИВЕРСИТЕТ»
ПОЛИТЕХНИЧЕСКИЙ ИНСТИТУТ
РиТК
кафедра

УТВЕРЖДАЮ
Заведующий кафедрой
_____ Г.Б. Масальский
подпись
«_____» _____ 2018 г.

ЗАДАНИЕ
НА ВЫПУСКНУЮ КВАЛИФИКАЦИОННУЮ РАБОТУ
в форме бакалаврской работы

Студенту Гендик Дмитрию Сергеевичу

Группа ФЭ14-08Б Направление (специальность) 15.03.06 (Мехатроника и робототехника)

Тема выпускной квалификационной работы: Система управления климатом здания

Утверждена приказом по университету № 2264/С от 14.02.18

Руководитель ВКР: Г.Б. Масальский, зав.кафедрой, профессор, канд. техн. наук., каф. РИТК

Исходные данные для ВКР:

Перечень разделов ВКР:

Глава 1. Описание ОУ.

Глава 2. Разработка математической модели.

Глава 3. Разработка адаптивной системы управления.

Глава 4. Разработка системы управления.

Глава 5. Безопасность и экологичность проекта.

Глава 6. Экономическое обоснование проекта.

Перечень графического материала:

Лист 1. Функциональная схема приточно-вытяжной установки.

Лист 2. Принципиальная схема (подключение датчиков температуры).

Лист 3. Принципиальная схема (подключение датчиков температуры).

Лист 4. Принципиальная схема (подключение датчиков влажности).

Руководитель ВКР

Масальский Г.Б.

Задание принял к исполнению

Гендик Д.С.

«_____» _____ 2018 г.

Инв. № подл.	Подп. и дата	Инв. № дубл.	Взам. инв. №	Подп. и дата						
Ли	Изм.	№ докум.	Подп.	Дат	БР 15.03.06 ПЗ					Лист
										3

РЕФЕРАТ

Выпускная квалификационная работа по теме «Система управления климатом здания» содержит 57 страницы текстового документа, 2 приложения, 11 использованных источников, 4 листа графического материала.

СИСТЕМА КЛИМАТ КОНТРОЛЯ, АВТОМАТИЗАЦИЯ ПРИТОЧНО-ВЫТЯЖНЫХ УСТАНОВОК, МАТЕМАТИЧЕСКАЯ МОДЕЛЬ, НЕЙРОСЕТЕВОЙ РЕГУЛЯТОР, АДАПТИВНАЯ СИСТЕМА.

Задачи проекта:

- проанализировать существующие системы управления климатом;
- разработать математическую модель СКК в системе Mathworks Matlab Simulink;
- разработать адаптивную систему управления;
- подобрать оборудование для СКК;
- внести изменения в принципиальную схему;

Актуальность данной работы заключается в необходимости обеспечения подходящих микроклиматических условий в местах массового скопления людей.

Для проектирования системы управления климатом было использовано следующее программное обеспечение: Autodesk AutoCAD, Mathworks Matlab (пакет Simulink, PDE), PTC Mathcad.

Инв. № подл.	Подп. и дата	Инв. № дубл.	Взам. инв. №	Подп. и дата						
Ли	Изм.	№ докум.	Подп.	Дат	БР 15.03.06 ПЗ					Лист
										4

СОДЕРЖАНИЕ

СОДЕРЖАНИЕ	5
ВВЕДЕНИЕ.....	7
1 Описание объекта управления.....	8
1.1 Математическое описание тепловых процессов.....	8
1.2 Торговый зал как объект управления.....	14
1.3 Динамика нагрева помещения	17
1.4 Анализ существующей системы управления	20
1.5 Подходы к решению задачи управления	23
2 Разработка математической модели	29
2.1 Статическая модель	29
2.2 Динамическая модель	30
2.3 Обобщенная модель	33
3. Разработка адаптивной системы управления.....	37
3.1 Структура адаптации	37
3.2 Идентификация.....	38
3.3 Адаптация параметров регулятора.....	44
4 Разработка системы управления.....	49
4.1 Изменение функциональной схемы (выбор датчиков)	49
4.2 Изменение принципиальной схемы	50
4.3 Спецификация нового оборудования.....	51
4.4 Алгоритм контроля	54
5 Безопасность и экологичность проекта	57
5.1 Монтаж кабелей	57
5.2 Работа с электроинструментом.....	58

Инв. № подл	Подп. и дата	Инв. № дубл.	Взам. инв. №	Подп. и дата	2.5 Обобщенная модель.....	33
					3. Разработка адаптивной системы управления.....	37
Инв. № подл	Подп. и дата	Инв. № дубл.	Взам. инв. №	Подп. и дата	3.1 Структура адаптации	37
					3.2 Идентификация.....	38
Инв. № подл	Подп. и дата	Инв. № дубл.	Взам. инв. №	Подп. и дата	3.3 Адаптация параметров регулятора.....	44
					4 Разработка системы управления.....	49
Инв. № подл	Подп. и дата	Инв. № дубл.	Взам. инв. №	Подп. и дата	4.1 Изменение функциональной схемы (выбор датчиков)	49
					4.2 Изменение принципиальной схемы	50
Инв. № подл	Подп. и дата	Инв. № дубл.	Взам. инв. №	Подп. и дата	4.3 Спецификация нового оборудования.....	51
					4.4 Алгоритм контроля	54
Инв. № подл	Подп. и дата	Инв. № дубл.	Взам. инв. №	Подп. и дата	5 Безопасность и экологичность проекта	57
					5.1 Монтаж кабелей	57
Инв. № подл	Подп. и дата	Инв. № дубл.	Взам. инв. №	Подп. и дата	5.2 Работа с электроинструментом.....	58
Ли	Изм.	№ докум.	Подп.	Дат	БР 15.03.06 ПЗ	
					Лист	
					5	

5.3 Работа с отрезными станками	59
5.4 Охрана труда при оперативном обслуживании и осмотрах электроустановок	60
5.5 Обеспечение благоприятных микроклиматических условий.....	61
6 Экономическое обоснование проекта	63
6.1 Стоимость оборудования	63
ЗАКЛЮЧЕНИЕ	65
СПИСОК ИСПОЛЬЗУЕМЫХ ИСТОЧНИКОВ	66
ПРИЛОЖЕНИЕ А	67
ПРИЛОЖЕНИЕ Б.....	70

Инв. № подл	Подп. и дата	Инв. № дубл.	Взам. инв. №	Подп. и дата	БР 15.03.06 ПЗ					Лист
										6
Ли	Изм.	№ докум.	Подп.	Дат						

ВВЕДЕНИЕ

Все больше времени люди проводят в торгово-развлекательных центрах, кинотеатрах, концертных залах. К таким местам массового скопления людей предъявляются особые требования в плане безопасности, экологичности и комфорта. Если два первых требования во многом решаются конструктивными особенностями здания, то третий пункт в основном зависит от множества факторов, в том числе и от микроклимата. Особенность поддержания комфортного микроклимата заключается в его «многогранности» т.е. результирующее ощущение комфорта складывается из множества параметров, таких как температура, влажность, скорость перемещения воздуха и т.д. И из этого следует, что необходимо контролировать каждый из этих параметров для достижения комфортного микроклимата внутри помещения, но основная сложность в управлении такими системами состоит в том, что параметры микроклимата взаимосвязаны и взаимозависимы. А от системы управления микроклиматом зависит и эффективность здания с точки зрения энергопотребления. И оптимально настроенная система не только обеспечит необходимые параметры воздуха внутри помещения, но позволит рационально использовать потребляемую энергию, применяя при этом все достижения в сфере энергосбережения.

В данном дипломном проекте рассмотрена методика настройки системы управления приточно-вытяжной системы вентиляции для достижения более высокой точности регулирования при экономии энергетических ресурсов.

Инв. № подл.	Подп. и дата	Инв. № дубл.	Взам. инв. №	Подп. и дата	Лист					
						Ли	Изм.	№ докум.	Подп.	Дат
БР 15.03.06 ПЗ					7					

1 Описание объекта управления

1.1 Математическое описание тепловых процессов

Технический прогресс приводит к появлению большого многообразия архитектурных, объемно-планировочных и конструктивных решений зданий с существенно отличающимися особенностями формирования теплового режима в помещениях, обусловленными их технологическим назначением и применяемыми системами регулирования микроклимата, но при всем многообразии все же можно выделить основные типовые элементы, из которых складывается здание как единая теплоэнергетическая система. Декомпозиция здания как единой энергетической системы может быть представлена тремя основными энергетически взаимосвязанными подсистемами [7]:

- энергетическим воздействием наружного климата на оболочку здания;
- энергией, содержащейся в наружных ограждающих конструкциях здания;
- энергией, содержащейся внутри объема здания, то есть во внутреннем воздухе, оборудовании, внутренних ограждающих конструкциях;

При необходимости каждая из указанных подсистем может быть представлена еще более мелкими энергетически взаимосвязанными системами. Основываясь на разделении здания на три основные подсистемы, можно сделать вывод: математическая модель здания будет состоять из трех подмоделей:

- модели наружного климата;
- модели теплопередачи через оболочку здания;
- модели лучистого и конвективного теплообмена в помещениях здания.

Эти модели составят систему уравнений - общую теплоэнергетическую модель здания, которая должна будет решаться совместно.

В соответствии с природой изучаемого процесса формирования теплового режима помещения и здания будем различать вероятностные и детерминированные математические модели, описывающие этот процесс. Модели теплового режима помещения:

Инв. № подл.	Подп. и дата	Инв. № дубл.	Взам. инв. №	Подп. и дата						
Ли	Изм.	№ докум.	Подп.	Дат	БР 15.03.06 ПЗ					Лист
										8

- математические модели теплового режима помещения как объекта распределенными параметрами, сюда относятся математические модели которые описывают температурное поле в плане и по высоте помещения и раздельно учитывают лучистый и конвективный теплообмен в помещении;

- математические модели теплового режима помещения как объекта с частично распределенными параметрами, сюда относятся модели, которые раздельно учитывают лучистый и конвективный теплообмен в помещении, а температура воздуха принимается одинаковой по всему объему помещения;

- математические модели теплового режима помещения как объекта с сосредоточенными параметрами, сюда относятся модели, которые описывают теплообмен в помещении без разделения на конвективную и лучистую составляющие, а температура воздуха принимается одинаковой по объему помещения.

Модель лучистого излучения и конвективного теплообмена в помещении здания включают систему водяного (на базе руфтопов) отопления обеспечивающий основной обогрев помещения и приточно-вытяжную систему, подающую теплый воздух. Система водяного отопления работает с заданным графиком и температурным режимом в автоматическом режиме.

Упрощения, принимаемые при построении математической модели теплопередачи через ограждающие конструкции. В общем случае ограждающие конструкции являются неоднородными и могут содержать вентилируемые или замкнутые воздушные прослойки, а также источники тепла. При определении математической модели теплопередачи через ограждающую конструкцию принято:

- теплотехнические характеристики материалов слоев не зависят от влажности и температуры материала;

- влияние откосов оконного проема, стыков, наружных углов, теплопроводных включений на деформацию температурного поля ограждения корректируется с помощью введения эквивалентных теплотехнических

Ине. № дубл.	Взам. инв. №	Подп. и дата
Ине. № подл.	Подп. и дата	Ине. № подл.

Ли	Изм.	№ докум.	Подп.	Дат
----	------	----------	-------	-----

БР 15.03.06 ПЗ

показателей, так что температурное поле конструкции можно считать одномерным;

- теплопередача через конструкцию происходит за счет теплопроводности и фильтрации воздуха;

- имеют место потери (выделения) тепла, связанные с замерзанием (таянием) влаги в материале.

Математическая модель теплопередачи через заполнение светового проема состоит из обобщенного описания следующих тепловых потоков:

- тепlopоступления в результате солнечной радиации, поглощаемой заполнением и непосредственно проникающей в помещение;

- тепlopоступления или тепlopотери вследствие разности температур внутреннего и наружного воздуха;

- тепlopоступления или тепlopотери вследствие фильтрации воздуха через притворы и по контуру примыкания заполнения к стене, обусловленные разницей давления и температуры внутри и снаружи здания.

В тепловом балансе помещения необходимо учитывать внутреннее оборудование. К внутреннему оборудованию будут относиться станки, машины, различное технологическое оборудование, а также строительные конструкции типа колонн и частей фермы, омываемых внутренним воздухом. По своему влиянию на формирование теплового режима здания оборудование может быть разделено на две группы: активное и пассивное. К первой группе относится оборудование, выделяющее потоки тепла. Ко второй группе относится оборудование, потребляющее и аккумулирующее в себе тепло из окружающего воздуха помещения, это мебель, колонны, товары, торговое оборудование.

Математические модели теплового режима помещения, основанные на декомпозиции здания как единой теплоэнергетической системы на три энергетически взаимосвязанных подсистемы - это энергия климата, энергия, содержащаяся в оболочке здания, энергия воздуха помещений:

- как объекта с распределенными параметрами;

Инв. № подл.	Подп. и дата	Взам. инв. №	Инв. № дубл.						
Инв. № подл.	Подп. и дата	Взам. инв. №	Инв. № дубл.						
Ли	Изм.	№ докум.	Подп.	Дат	БР 15.03.06 ПЗ				Лист
									10

$$\left\{ \begin{array}{l} \frac{\partial}{\partial t} (pV_i) = -\frac{\partial \Pi_{i,j}}{\partial x_k} \\ \frac{\partial T}{\partial t} + \bar{V} \nabla T = \text{div} \lambda \nabla T \frac{1}{c_p} \\ \frac{\partial p}{\partial t} + \text{div} \bar{V} = 0 \\ \left\{ \frac{\partial H}{\partial t} = \text{div} \lambda \nabla T \pm C_R j_F \frac{\partial T}{\partial y} + Q_{sou} \right\}_i^* \\ y = 0 \quad \{q_{cond} = q_c^{out.SF} + q_R^{out.SF} + q_{sun}^{out.SF} + q_{Ph}^{out.SF}\}_i^* \\ y = 0 \quad \{q_{cond} = q_c^{out.SF} + q_R^{out.SF} + q_{sun}^{out.SF} + q_{Ph}^{out.SF}\}_i^* \\ C_{EQ} p_{EQ} \frac{\partial T_{EQ}}{\partial T} = \text{div} \lambda_{EQ} \nabla T_{EQ} + Q_{EQ}(x, y, z) \\ t = 0 \quad \{T = T(x, y, z); T_i = T_i(x, y, z); T = T(x, y, z); V_{\bar{A}} = 0\} \end{array} \right. , \quad (1.1)$$

где $T = T(x, y, z, t)$ - температура воздуха, °C;

$V = V(x, y, z, i)$ - скорость движения воздуха, м/с;

p - плотность воздуха, в кг/м³;

λ - теплопроводность воздуха;

$\Pi_{i,j}$ тензор плотности потока импульса;

Q_{sou} удельная мощность источников тепла в ограждении;

C_R — соответственно удельная теплоемкость воздуха в Дж/(кг °C);

$C_{R,PR} V_R$ - соответственно удельная теплоемкость в Дж/(кг °C), плотность в кг/м³и объем помещения в м³;

Значок (*), фигурные скобки и индекс (i) означают, что уравнение относится к i-тому ограждению;

- как объекта с частично распределенными параметрами в общем виде;

$$\left\{ \begin{array}{l} C_R p_R V_R \frac{dT_R}{dt} = \sum_i Q_i + \sum_j Q_j \\ \sum_i M_i + \sum_j M_j = 0 \\ \left\{ \frac{\partial H}{\partial t} = \text{div} \lambda \nabla T \pm C_R j_F \frac{\partial T}{\partial y} + Q_{sou} \right\}_i^* \\ y = 0 \quad \{q_{cond} = q_c^{out.SF} + q_R^{out.SF} + q_{sun}^{out.SF} + q_{Ph}^{out.SF}\}_i^* \\ y = 0 \quad \{q_{cond} = q_c^{out.SF} + q_R^{out.SF} + q_{sun}^{out.SF} + q_{Ph}^{out.SF}\}_i^* \\ C_{EQ} p_{EQ} \frac{\partial T_{EQ}}{\partial T} = \text{div} \lambda_{EQ} \nabla T_{EQ} + Q_{EQ} \\ t = 0 \quad \{T_R = T_R(0) T_i = T_i(x, y, z); T_{EQ} = T_{EQ}(x, y, z)\} \end{array} \right. , \quad (1.2)$$

Инв. № подл.	Подп. и дата	Инв. № дубл.	Взам. инв. №	Подп. и дата	Инв. № инв.						
						БР 15.03.06 ПЗ					Лист
Ли	Изм.	№ докум.	Подп.	Дат						11	

где $C_{R,PR}, V_R$ - соответственно удельная теплоемкость в Дж/(кг °С), плотность в кг/м³ и объем помещения в м³;

T_R - средняя по объему помещения температура внутреннего воздуха, °С;

Q_i - конвективное тепло, передаваемое воздуху от поверхностей ограждений и оборудования, Вт;

Q_j - конвективное тепло, непосредственно передаваемое воздуху помещения, Вт;

M_i - потоки воздуха через ограждающие конструкции, кг/ч;

M_j - потоки воздуха, непосредственно передаваемые или удаляемые из помещения, кг/ч.

Данные модели определяют общий вид системы уравнений для моделирования теплового состояния помещения. Для каждого конкретного примера систему уравнений потребует изменений, введения определенных ограничений. Предложенные модели требуют значительные затраты машинного времени и для задач управления в режиме реального времени мало пригодного.

Математическая модель теплового режима помещения представляет собой элемент системы более высокого порядка – теплового режима здания. Связями между этими элементами является теплообмен между помещениями, происходящий, главным образом, за счет воздухообмена и теплопередачи через внутренние ограждения.

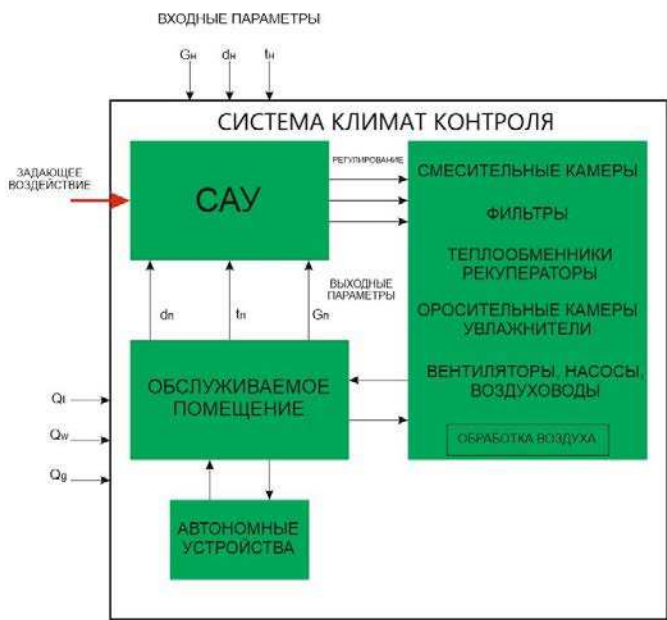
Обобщённая структурная схема объекта автоматизации показана на рисунке 1.1. Входными параметрами являются наружный воздух, тепло-, влаго-, и хладаносители, электроэнергия, а также часть рециркуляционного воздуха, возвращаемого в помещение. Выходными параметрами являются температура в помещении $t_{ном}$, влагосодержание $d_{ном}$ и расход воздуха $G_{ном}$. Система кондиционирования включает следующие основные элементы:

- регуляторы расхода воздуха(заслонки, шиберы, жалюзи);
- камеры смешения (смешения различных потоков воздуха);
- фильтры (механическая и биологическая очистка воздуха);

Инв. № подл.	Подп. и дата	Инв. № дубл.	Взам. инв. №	Подп. и дата						
					БР 15.03.06 ПЗ					Лист
Ли	Изм.	№ докум.	Подп.	Дат						12

- теплообменники (теплообмен различных сред: воздух-воздух, хладагент-воздух, жидкость-воздух и др.);
- вентиляционные сети (распределение и транспортировка воздуха).

Каждая конкретная система комплектуется, исходя из заданной технологии обработки приточного воздуха. Это могут быть простые вентиляционные системы или центральные кондиционеры в сочетании с автономными устройствами (калориферы, осушители, автономные кондиционеры и др.), называемые доводчиками. Они доводят воздух, идущий от центрального кондиционера, до параметров, требуемых по нормам конкретного помещения.



- t_n, d_n, G_n –температура, влажность, расход наружного воздуха;
- $t_{пом}, d_{пом}, G_{пом}$ – температура, влажность, расход воздуха в помещении;
- Q_t, Q_w, Q_g –тепловое, влажностное и газовое воздействия.

Рисунок 1.1 – Обобщенная структурная схема СКК как объекта автоматизации.

Ине. № подл	Подп. и дата
Ине. № дубл.	Взам. инв. №
Подп. и дата	Подп. и дата
Ине. № подл	Подп. и дата

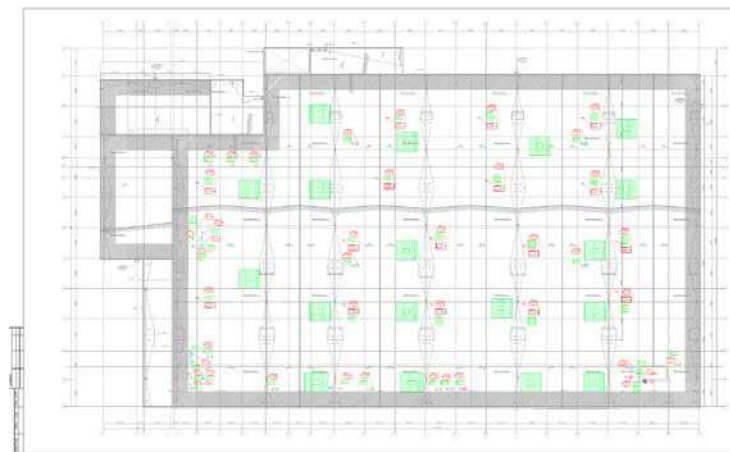


Рисунок 1.3 – План здания и схема вентиляции

Согласно нормам производственного микроклимата (ГОСТ 12.1.005-88) воздух в рабочем помещении должен соответствовать следующим требованиям, приведенным в таблице 1.1. [1].

Таблица 1.1 - Требования к воздуху в рабочем помещении

Период года	Параметр микроклимата	Величина
Холодный	Температура воздуха в помещении	22...24°C
	Относительная влажность	40...60%
	Скорость движения воздуха	до 0,1м/с
Теплый	Температура воздуха в помещении	23...25°C
	Относительная влажность	40...60%
	Скорость движения воздуха	0,1...0,2м/с

Технические характеристики оборудования.

Приточная часть:

- водяной нагреватель;

VS 100 WCL 1

Потребляемая мощность 49 кВт;

Падение давления 20 Па.

- Вентиляторная секция;

Ине. № подл.	Подп. и дата
Ине. № дубл.	Взам. инв. №
Подп. и дата	
Ине. № подл.	

Ли	Изм.	№ докум.	Подп.	Дат

БР 15.03.06 ПЗ

VS 100/150 DRCT.DR.FAN 1V.2

Обороты 1614 об/мин;

Номинальное напряжение 3~400 В;

Номинальный ток 8.5 А;

Номинальная мощность 4 кВт;

Потребление электрической мощности 4.03 кВт.

- Нагреватель;

RB 100-50/80-5

Номинальное напряжение 400 В;

Номинальный ток 116 А;

Номинальная мощность 80 кВт.

Вытяжная часть:

- вентиляторная секция;

VS 100/150 DRCT.DR.FAN 1V.2

Обороты 1434 об/мин;

Номинальное напряжение 3~400 В;

Номинальный ток 8.5 А;

Номинальная мощность 4 кВт;

Потребление электрической мощности 2.81 кВт.

Приборы и средства автоматизации:

- прессостат KPI 35;
- датчик температуры канальный Pt1000;
- датчик температуры накладной Pt1000;
- частотный преобразователь 4 кВт;
- частотный преобразователь 0.4 кВт;
- датчик дифференциального давления 50-500 Па;
- датчик дифференциального давления 200-2000 Па;
- термостат водяного калорифера.

Подп. и дата	
Взам. инв. №	
Инв. № дубл.	
Подп. и дата	
Инв. № подл.	

Ли	Изм.	№ докум.	Подп.	Дат

БР 15.03.06 ПЗ

Лист

16

1.3 Динамика нагрева помещения

Основные уравнения необходимые для построения структурной схемы [2]

$$\frac{Q}{k_{ok} * F_{ok}} = T_{\text{пм}} \frac{dt}{d\tau} + t_B, \quad (1.3)$$

где $T_{\text{пм}} = \frac{G_{\text{пм}} * c_{\text{пм}}}{k_{ok} * F_{ok}};$

Q – теплопотери через ограждение ккал/час;

k_{ok} – коэффициент теплопередачи ограждения ккал/м² час град;

F_{ok} – площадь ограждающей конструкции м²;

$T_{\text{пм}}$ – постоянная времени обогреваемого помещения час;

t – температура в помещении °С;

τ – время;

$G_{\text{пм}}$ – масса помещения кг;

$c_{\text{пм}}$ – удельная теплоемкость кДж/кг°С.

В соответствии с уравнением (1.3) запишем :

$$W(p) = \frac{K_{\text{пм}}}{T_{\text{пм}} p + 1}, \quad (1.4)$$

где $K_{\text{пм}} = \frac{Q}{k_{ok} * F_{ok}}.$

Пусть температура наружного воздуха $t_n = -10$. Рассчитаем параметры обогреваемого помещения. Объем помещения составляет:

$$V_{\text{пм}} = 8304 * 10 = 83040 \text{ м}^3, \quad (1.5)$$

Масса помещения:

$$G_{\text{пм}} = V_{\text{пм}} * \rho_v = 83040 * 1,29 = 107121,8 \text{ кг}, \quad (1.6)$$

($\rho_v = 1,29 \text{ кг/м}^3$ – плотность воздуха). Площадь ограждающей конструкции без учета потолка:

Инв. № подл	Подп. и дата	Инв. № дубл.	Взам. инв. №	Подп. и дата						
					БР 15.03.06 ПЗ					Лист
Ли	Изм.	№ докум.	Подп.	Дат						17

$$F_{ок} = (100 * 2 * 10) + (83,04 * 2 * 10) = 3660,8 \text{ м}^2, \quad (1.7)$$

Величина сопротивления теплопередаче для многослойного ограждения где R_B - сопротивление теплопереходу у внутренней поверхности ограждения ($R_B=0.133$); R_1, R_2 - термические сопротивления отдельных слоев ограждения; R_H - сопротивление теплопереходу у наружной поверхности ограждения ($R_H=0.05$). Термическое сопротивление однородного ограждения или слоя, входящего в состав многослойного ограждения, должно вычисляться по формуле:

$$R = \frac{\delta}{\lambda} \left(\text{м}^2 \text{ час } \frac{^\circ\text{C}}{\text{ккал}} \right), \quad (1.8)$$

где δ - толщина слоя в м ($\delta_1=0.01$, $\delta_2=0.6$); λ – коэффициент теплопроводности материала в ккал/м час $^\circ\text{C}$ ($\lambda_1=0.6$ для штукатурки, $\lambda_1=1.75$ для бетонной плиты):

$$R_{ок} = R_B + R_1 + R_2 + R_H = 0.133 + \frac{0.01}{0.6} + \frac{0.6}{1.75} + 0.05 = 0,543 \left(\text{м}^2 \text{ час } \frac{\text{град}}{\text{ккал}} \right). \quad (1.9)$$

Коэффициент теплопередачи ограждения:

$$k_{ок} = \frac{1}{R_{ок}} = 1.843 \left(\frac{\text{ккал}}{\text{м}^2 \text{ час}} \text{ град} \right), \quad (1.10)$$

1 кал = 4,19 Дж, тогда

$$k_{ок} = 1.843 * 10^3 * 4,19 = 7.723 \frac{\text{кДж}}{\text{м}^2}. \quad (1.11)$$

Постоянная времени обогреваемого помещения:

$$T_{пм} = \frac{G_{пм} * 1,005 * 10^3}{k_{ок} * F_{ок}} = 3.8 \text{ час} = 228 \text{ мин}. \quad (1.12)$$

Теперь необходимо определить тепловую энергию, поступающую в помещение от нагревательного прибора. Средняя температура теплоносителя в приборе:

Инв. № подл.	Подп. и дата	Инв. № дубл.	Взам. инв. №	Подп. и дата						
					БР 15.03.06 ПЗ					Лист
Ли	Изм.	№ докум.	Подп.	Дат						18

$$t_{\text{пр}} = \frac{35+45}{2} = 40^{\circ}\text{C}. \quad (1.13)$$

Коэффициент теплопередачи калорифера при разности между средней температурой теплоносителя и температурой помещения 40-45°C равен 26,4 кДж/час м² град. Площадь поверхности нагревательного прибора:

$$F_{\text{пр}} = 4 * 0.5 = 2 \text{ м}^2, \quad (1.14)$$

Теплоотдача нагревательного прибора (калорифер ПВВ):

$$Q = k_{\text{пр}} * F_{\text{пр}} * (t_{\text{пр}} - t_{\text{в}}) = 26,4 * 2 * (40 - 20) = 1056 \text{ кДж}, \quad (1.15)$$

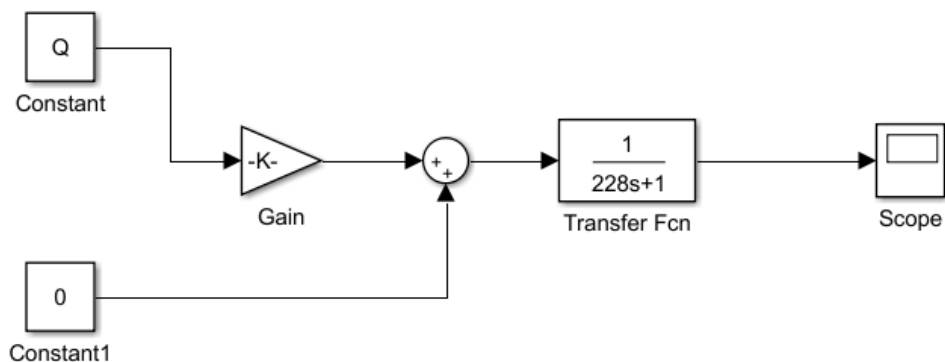


Рисунок 1.4 - Структурная схема разомкнутой системы регулирования температуры в среде MatLab

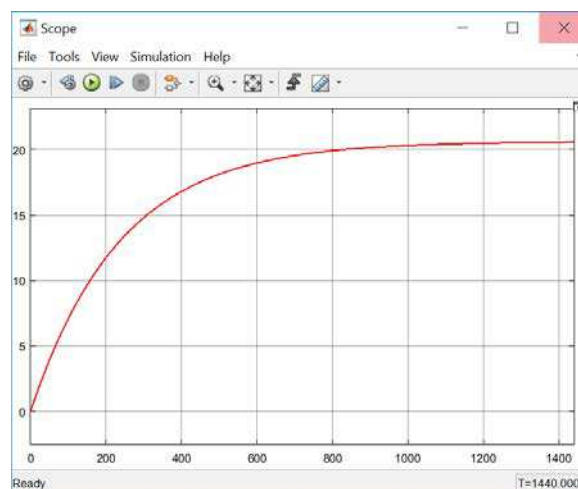


Рисунок 1.5 - Результаты моделирования для температуры воздуха $t_{\text{в}}$

Рисунок 1.4 - Структурная схема разомкнутой системы регулирования температуры в среде MatLab

Time (s)	Temperature (°C)
0	0.0
200	11.5
400	16.5
600	18.8
800	19.8
1000	20.3
1200	20.5
1400	20.5

Рисунок 1.5 - Результаты моделирования для температуры воздуха t_b

<div>Инв. № подл</div> <div>Подп. и дата</div> <div>Инв. № дубл.</div> <div>Взам. инв. №</div> <div>Подп. и дата</div>		<div>БР 15.03.06 ПЗ</div>					<div>Лист</div> <div>19</div>
		<div>Рисунок 1.4 - Структурная схема разомкнутой системы регулирования температуры в среде MatLab</div>					
		<div>Рисунок 1.5 - Результаты моделирования для температуры воздуха t_b</div>					
		<div> <div>Ли</div> <div>Изм.</div> <div>№ докум.</div> <div>Подп.</div> <div>Дат</div> </div>					

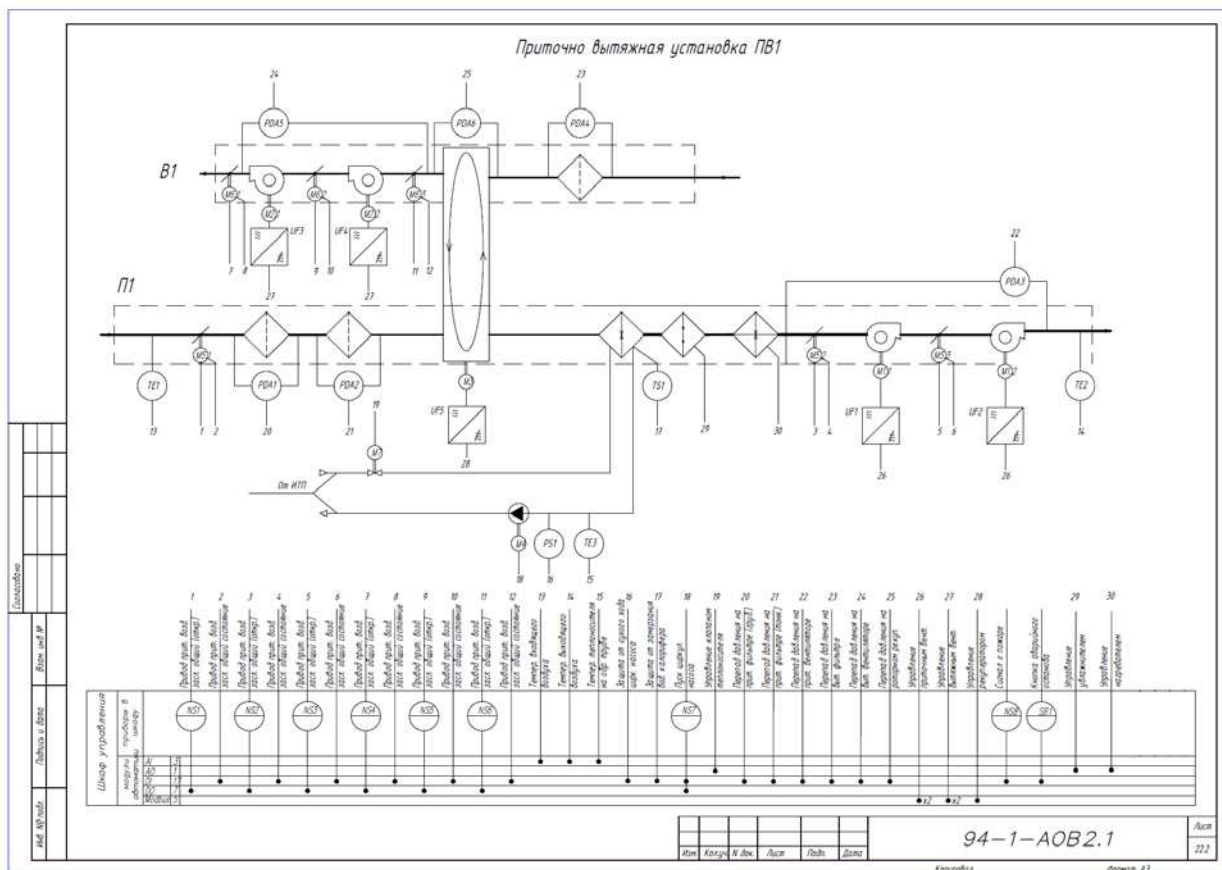


Рисунок 1.7 – Функциональная схема существующего объекта

Из рисунка 1.7 видно, что приточный воздух проходит через заслонку и фильтры, затем он проходит через рекуператор нагреваясь от отработанного воздуха. После рекуператора приточный воздух поступает на калорифер и догревается до определенной температуры. Для увлажнения воздуха после калорифера установлен увлажнитель, который не только поднимает влагосодержание, но и охлаждает его. Чтобы получить конечную (желаемую) температуру воздуха применяется установка нагревателя после увлажнителя. Далее воздух с помощью вентиляторов подается в обслуживаемое помещения.

Вытяжной (отработанный) воздух проходит меньший путь нежели приточный. Он проходит через вытяжной фильтр, рекуператор для подогрева приточного воздуха и затем выпускается в атмосферу.

Также в данной схеме можно увидеть большое количество датчиков. Датчики давления на фильтрах для проверки их засоренности, на рекуператоре и вентиляторах для слежения перепада давления. Датчики температуры для

слежения изменений температуры воздуха, проверки температуры воды в трубе калорифера.

Перечень элементов шифра управления ВЭФ 1					Перечень элементов шифра управления ВЭФ 1 (продолжение)				
Поз.	Обозначение	Наименование	Кол.	Примечание	Поз.	Обозначение	Наименование	Кол.	Примечание
		(продолжение таблицы)							
1		Шифр контрольного распределения, РИВ, индекс: А44, 7235, 800, +100+750	1		27	Х171	Резистор сдвинутый с сопротивлением 10 А	1	Контроль для питания электродвигателя
2		Резисторный резистор 500+100	1		28	А1	Электронный компонент - R 1/4W 100 312	1	
3		Кодовый ключ сгор. 40 X 60	4		29	А2	Электронный компонент 100W 100 312	1	
4		ОМ - резистор 1000 340 100+150	3		30	А3	Электронный компонент 100W 100 312	1	
5	А1	Клемма проводки, левая, 27 4	3		31	А4	Электронный компонент 100W 100 312	1	
6		Клемма проводки, правая, 27 4	1		32	А5	Электронный компонент 100W 100 312	1	
7		Клемма защитного провода, клемма-переход, 27 4	1		33	А6	Электронный компонент 100W 100 312	1	
8		Кнопка сброса - ВЭФ 4	1		34	К1-К3	Кнопка сброса	8	
9	К2-К3	Клемма проводки, левая, 27 25	33		35	К4-К6	Кнопка сброса	8	
10		Клемма проводки, правая, 27 25	8		36	ОП	Оптический датчик	1	Линейный датчик
11		Клемма защитного провода, клемма-переход, 27 25	8		37	СВ1	Светодиодный датчик	1	Матричный датчик
12		Кнопка сброса - ВЭФ 25	5		38	РВ1	Резистор сдвинутый с сопротивлением 10 А	1	
13		Кнопка сброса с датчиком температуры, датчик 55 мм	4		39	РВ2	Резистор сдвинутый с сопротивлением 10 А	1	
14	ВЭФ 1	Аппаратный датчик, 2-х-кан. датчик 1, 20 А	1	Датчик температуры	40	РВ3	Резистор сдвинутый с сопротивлением 10 А	1	
15	ВЭФ 2	Аппаратный датчик, 2-х-кан. датчик 1, 20 А	4		41	РВ4	Резистор сдвинутый с сопротивлением 10 А	1	
16	ВЭФ 3	Аппаратный датчик, 2-х-кан. датчик 1, 20 А	1		42	РВ5	Резистор сдвинутый с сопротивлением 10 А	1	
17	ВЭФ 4	Аппаратный датчик, 2-х-кан. датчик 1, 20 А	8		43	РВ6	Резистор сдвинутый с сопротивлением 10 А	1	
18	ВЭФ 5	Аппаратный датчик, 2-х-кан. датчик 1, 20 А	2		44	РВ7	Резистор сдвинутый с сопротивлением 10 А	1	
19		Аппаратный датчик, 2-х-кан. датчик 1, 20 А	1		45	РВ8	Резистор сдвинутый с сопротивлением 10 А	1	
20	ВЭФ 6	Аппаратный датчик, 2-х-кан. датчик 1, 20 А	1		46	РВ9	Резистор сдвинутый с сопротивлением 10 А	1	
21	ВЭФ 7	Аппаратный датчик, 2-х-кан. датчик 1, 20 А	1		47	РВ10	Резистор сдвинутый с сопротивлением 10 А	1	
22	ВЭФ 8	Аппаратный датчик, 2-х-кан. датчик 1, 20 А	1						
23	ВЭФ 9	Аппаратный датчик, 2-х-кан. датчик 1, 20 А	1						
24	ВЭФ 10	Аппаратный датчик, 2-х-кан. датчик 1, 20 А	1						
25	ВЭФ 11	Аппаратный датчик, 2-х-кан. датчик 1, 20 А	1						
26	ВЭФ 12	Аппаратный датчик, 2-х-кан. датчик 1, 20 А	1						
27	ВЭФ 13	Аппаратный датчик, 2-х-кан. датчик 1, 20 А	1						

Рисунок 1.8 – Оборудование необходимое для управления

Инв. № подл	Подп. и дата	Инв. № дубл.	Взам. инв. №	Подп. и дата	Ли	Изм.	№ докум.	Подп.	Дат	БР 15.03.06 ПЗ	Лист
											22

1.5 Подходы к решению задачи управления

Для решения задачи регулирования климата можно использовать два метода:

Инженерный метод.

Для этого метода необходимо использовать I-D диаграмму влажного воздуха (рисунок 1.9).

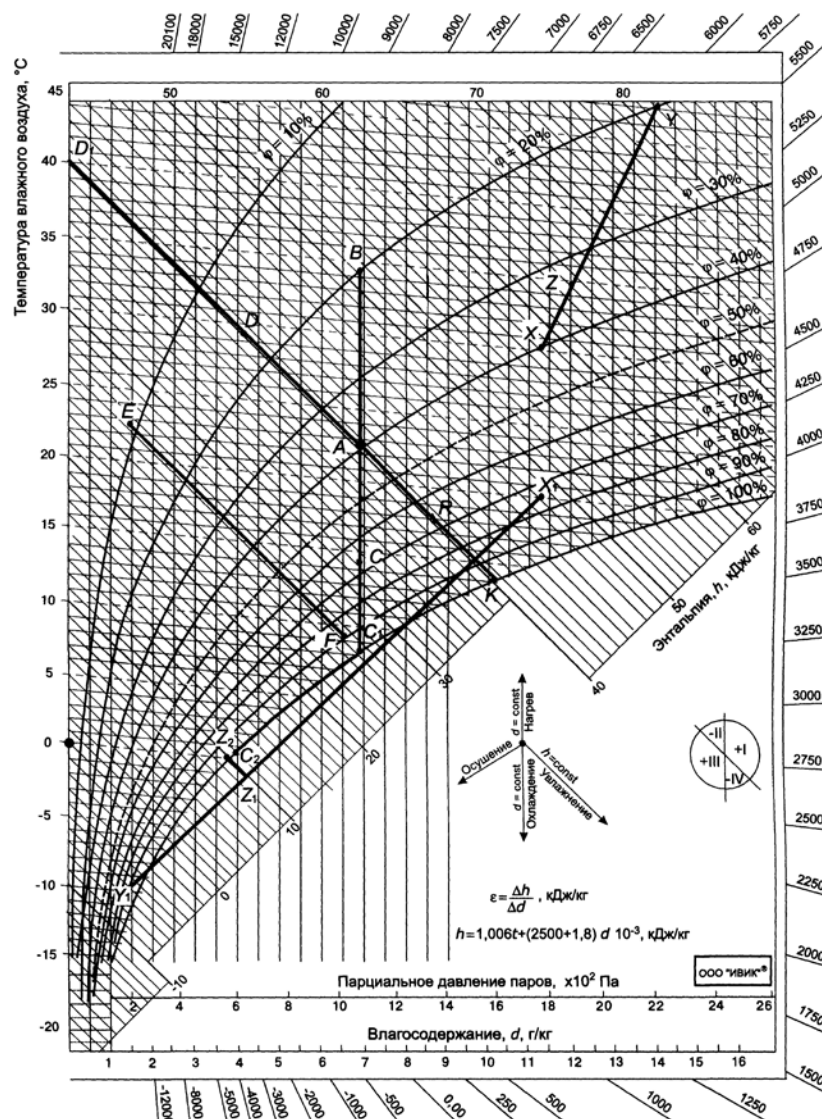


Рисунок 1.9 – I-D диаграмма

Процесс нагревания воздуха.

При нагревании воздуха линия термодинамического процесса проходит по прямой AB (рисунок 1.9) с постоянным влагосодержанием ($d = \text{const}$). Температура воздуха и энтальпия увеличиваются, а относительная влажность уменьшается. Расход тепла на нагрев воздуха равен разности энтальпий

Ине. № подл.	Подп. и дата
Ине. № дубл.	Взам. инв. №
Подп. и дата	Ине. № инв.
Ине. № подл.	Подп. и дата

Ли	Изм.	№ докум.	Подп.	Дат
----	------	----------	-------	-----

БР 15.03.06 ПЗ

конечного и начального состояний воздуха.

Процесс охлаждения воздуха.

Процесс охлаждения воздуха на $d-h$ диаграмме отражается прямой, направленной вертикально вниз (прямая AC , рисунок 1.7). Расчет производится аналогично процессу нагревания. Однако если линия охлаждения идет ниже линии насыщения, то процесс охлаждения пойдет по прямой AC и далее по линии $\varphi = 100\%$ от точки C_1 до точки C_2 .

Процесс осушения влажного воздуха.

Осушение влажного воздуха абсорбентами без изменения тепло-содержания (без отвода и подвода тепла) происходит по прямой $A=\text{const}$, то есть по прямой AD , направленной вверх и влево. При этом влагосодержание и относительная влажность снижаются, а температура воздуха возрастает, так как в процессе абсорбции происходит конденсация пара на поверхности абсорбента, и освобожденная скрытая теплота пара переходит в тепло явное. Пределом этого процесса является точка пересечения прямой $h = \text{const}$ с ординатой $d = 0$ (точка D_x). Воздух в этой точке полностью освобожден от влаги.

С помощью данной диаграммы настраивается оборудование и выбираются режимы работы оборудования в соответствии с требованиями СанПиН.

Особенность данной диаграммы заключается в том, что она применима только для определенного атмосферного давления (745 мм.рт.ст.), но данная особенность решается путем перерасчета параметров. Главными параметрами являются:

- температура t , °C;
- относительная влажность φ , %;
- влагосодержание d , г/кг;
- энтальпия h , кДж/кг.

Рассмотрим пример реального управления климата с помощью I-D диаграммы

Инв. № подл.	Подп. и дата	Инв. № дубл.	Взам. инв. №	Подп. и дата							
Инв. № подл.	Подп. и дата	Инв. № дубл.	Взам. инв. №	Подп. и дата	Ли	Изм.	№ докум.	Подп.	Дат	БР 15.03.06 ПЗ	Лист

- коэффициент K_p изменяется с равным шагом пока не будет достигнут желаемый результат;
- с коэффициентами K_I и K_D проводят такие же операции как и с K_p до полной настройки.

Модель теплового баланса.

Так же данную задачу возможно смоделировать с помощью среды программирования Matlab используя модуль Partial Differential Equation. В данном модуле можно смоделировать помещения и задав граничные условия получить результат воздействия оборудования на климат помещения.

Первым этапом было создание самого помещения размерами 100 на 83,4 метров:

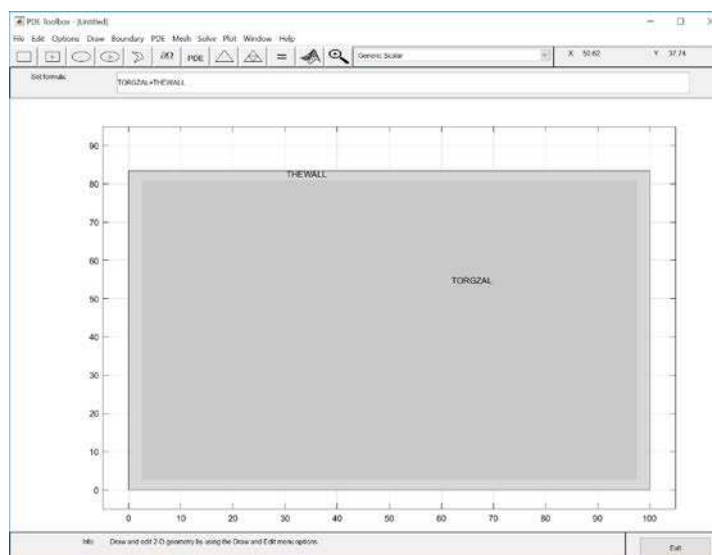


Рисунок 1.11 – Модель помещения

TORGZAL – Объект управления (торговый зал);

THEWALL – Стена торгового зала.

Далее были заданы граничные условия. Для границ под номером 8, 5, 3 применили условия Дирихле (условия температуры на самой границе), а для границы под номером 4 условия Неймана (условия теплового потока от границы).

Инв. № подл.	Подп. и дата
Инв. № дубл.	Взам. инв. №
Подп. и дата	
Инв. № подл.	

Ли	Изм.	№ докум.	Подп.	Дат

БР 15.03.06 ПЗ

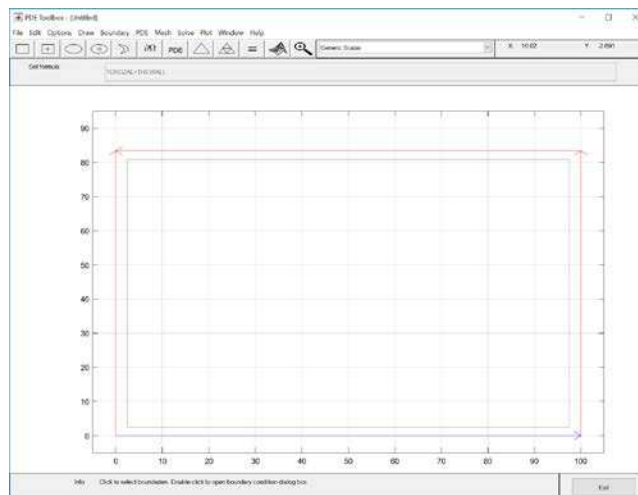


Рисунок 1.12 – Задание граничных условий модели

Для условий Дирихле - 18°C

Для условий Неймана - плотность потока тепловой мощности 40 Вт/м^2 ,
коэффициент распределения тепла – 1.

После была создана сетка объекта:

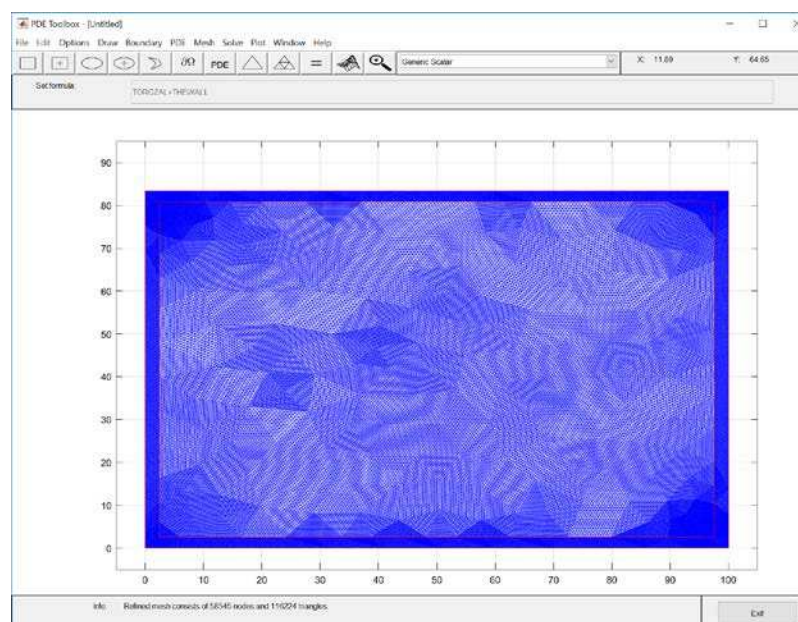


Рисунок 1.13 – Сетка объекта

Подп. и дата	Взам. инв. №	Инв. № дубл.	Подп. и дата	Инв. № подл.

Ли	Изм.	№ докум.	Подп.	Дат

БР 15.03.06 ПЗ

Лист
27

Результат моделирования:

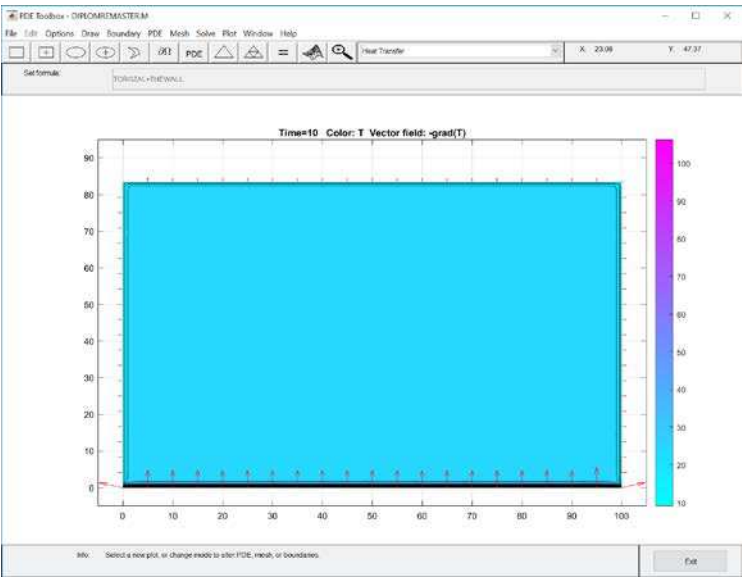


Рисунок 1.14 – Результаты моделирования в PDE

Существенным минусом данного метода является невозможность настройки оборудования и получения данных не полного объема, а в сечении.

Ине. № подп	Подп. и дата	Ине. № дубл.	Взам. инв. №	Подп. и дата

Ли	Изм.	№ докум.	Подп.	Дат

2 Разработка математической модели

2.1 Статическая модель

Для создания статической модели была взята за основу I-D диаграмма. В пакете MathCad был использован метод МНК. Модель имеет вид [3]:

$$y = a_0 x_0 + a_1 x_1 + \dots + a_n x_n + v, \quad (2.1)$$

где x_j – линеаризованные переменные (регрессоры); a_j – неизвестные параметры.

В матричной форме МНК-оценки вычисляют по формуле

$$\hat{a} = (X^T X)^{-1} X^T Y, \quad (2.2)$$

X и Y – матрицы наблюдений.

Модель в MathCad имеет вид:

$$y = -40 + a_1 * q_1 * \sqrt{x}, \quad (2.3)$$

где -40 – коэффициент диаграммы ;

a – МНК-оценки;

q – относительная влажность;

x – влагосодержание.

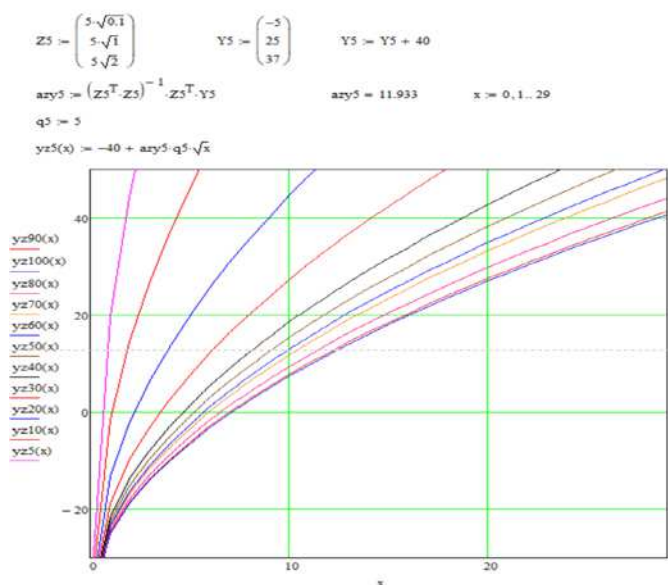


Рисунок 2.1 – Результаты построения графика модели

Инв. № подл	Подп. и дата	Инв. № дубл.	Взам. инв. №	Подп. и дата		Лист

Для каждой кривой влажности были сформированы отдельные матрицы наблюдения.

Как видно из рисунка 2.1, график полностью повторяет I-D диаграмму за исключением линий энтальпии.

Так же выше указанный «метод MatLab» может быть использован в качестве статической мод

2.2 Динамическая модель

Как было указано выше основными величинами являются:

- температура t , °C;
- относительная влажность ϕ , %;
- влагосодержание d , г/кг;
- энтальпия h , кДж/кг;

Любые две величины из перечисленных однозначно определяют две другие.

И ещё два числа, которые часто бывают необходимы:

- максимальное влагосодержание при данной температуре dm , г/кг;
- давление насыщенного пара при данной температуре P_n , Па;

Итак, задача в том, чтобы по любым двум заданным основным параметрам вычислять два оставшихся основных и все производные из них параметры состояния влажного воздуха.

Принятые обозначения и единицы измерения:

- P_n - парциальное давление водяного пара во влажном воздухе, Па;
- P_6 - барометрическое давление атмосферы, Па;
- P_n - давление насыщенного водяного пара, Па;

Парциальное давление и влагосодержание связаны соотношениями :

Инв. № подл.	Подп. и дата	Взам. инв. №	Подп. и дата	Инв. № дубл.	Взам. инв. №	Подп. и дата	Инв. № подл.					
Ли	Изм.	№ докум.	Подп.	Дат	БР 15.03.06 ПЗ			Лист	30			

$$P_n(d) = \frac{P_6 * d}{622 + d}. \quad (2.5)$$

$$d(P_n) = \frac{622 * P_n}{P_6 - P_n}. \quad (2.6)$$

Относительная влажность вычисляется из соотношения:

$$\varphi = \frac{P_n * 100\%}{P_H}. \quad (2.7)$$

Давление насыщенного водяного пара P_H , как известно, зависит только от температуры. Для интервала температур от -50 до 50 °C:

$$P_H(t) = 611.2 * \exp\left(\frac{a * t}{b + t}\right). \quad (2.8)$$

Значения a и b для воды ($t \geq 0$): $a = 17.504$, $b = 241.2$, для льда: $a = 22.489$, $b = 272.88$.

Обратное соотношение, соответственно, будет выглядеть как:

$$t(P_H) = \frac{b * \ln\left(\frac{P_H}{611.2}\right)}{a - \ln\left(\frac{P_H}{611.2}\right)}. \quad (2.9)$$

Для удельной энтальпии рекомендуют формулу :

$$h(t, d) = 1.006 * t + 2.501 * d + 0.00185 * t * d. \quad (2.10)$$

Отсюда получаются и производные зависимости:

$$t(h, d) = \frac{h - 2.501 * d}{1.006 + 0.00185 * d}. \quad (2.11)$$

$$d(h, t) = \frac{h - 1.006 * t}{2.501 + 0.00185 * t}. \quad (2.12)$$

Итак, основные варианты алгоритмов вычисления основных параметров в

Инв. № подл.	Подп. и дата				
	Взам. инв. №				
	Инв. № дубл.				
	Подп. и дата				
<div style="display: flex; justify-content: space-between; align-items: center;"> <div> <p>Ли</p> <p>Изм.</p> <p>№ докум.</p> <p>Подп.</p> <p>Дат</p> </div> <div style="text-align: center; flex-grow: 1;"> <p>БР 15.03.06 ПЗ</p> </div> <div> <p>Лист</p> <p>31</p> </div> </div>					

зависимости от исходных данных.

Алгоритм 1. Известны температура t и влажность ϕ . Вычисляем давление насыщенных паров воды $P_n(t)$ по формуле (2.7), затем парциальное давление водяного пара $P_n(P_n)$ из формулы (2.6), полученное значения P_n подставляем в формулу (2.5) и находим влагосодержание $d(P_n)$, и по формуле (2.9) рассчитываем энтальпию $h(t,d)$.

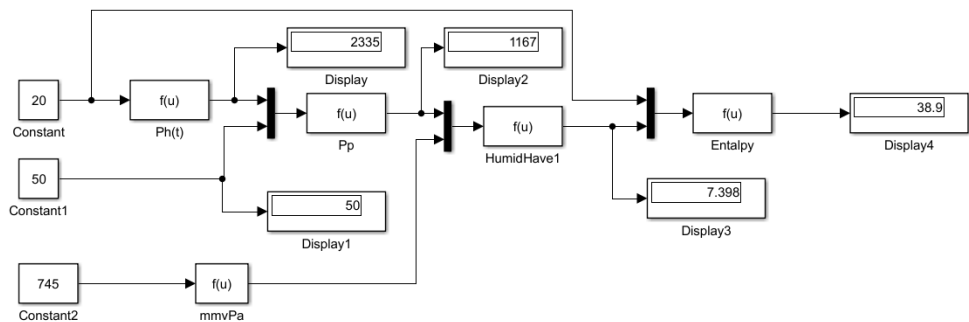


Рисунок 2.4 – Модель расчета параметров влажного воздуха при известной температуре и влажности.

Алгоритм 2. Известны температура t и влагосодержание d . Вычисляем давление насыщенных паров воды $P_n(t)$ по формуле (2.7), затем парциальное давление водяного пара $P_n(d)$ из формулы (2.4), полученные значения P_n и P_n подставляем в формулу (2.6) и находим влажность ϕ , и по формуле (2.9) рассчитываем энтальпию $h(t,d)$.

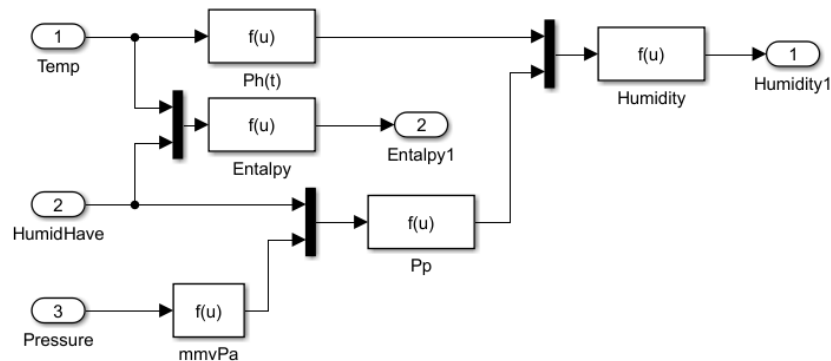


Рисунок 2.5 – Модель расчета параметров влажного воздуха при известной температуре и влагосодержании.

Подп. и дата	
Взам. инв. №	
Инв. № дубл.	
Подп. и дата	
Инв. № подл.	

Ли	Изм.	№ докум.	Подп.	Дат

2.3 Обобщенная модель

В ходе работы была построена обобщенная модель (рисунок 2.6) включающая алгоритмы 1 и 2 (пункт 2.2). В данной схеме регулирование осуществляется ПИ регулятором.

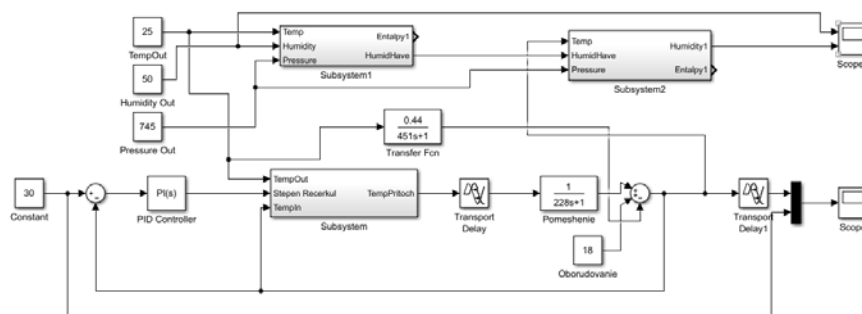


Рисунок 2.6 – Полная модель вентиляционной системы с учетом параметров воздуха.

Результаты работы модели:

Данные:

Температура наружного воздуха = 15°C;

Относительная влажность = 50°C;

Уставка по температуре = 30°C.

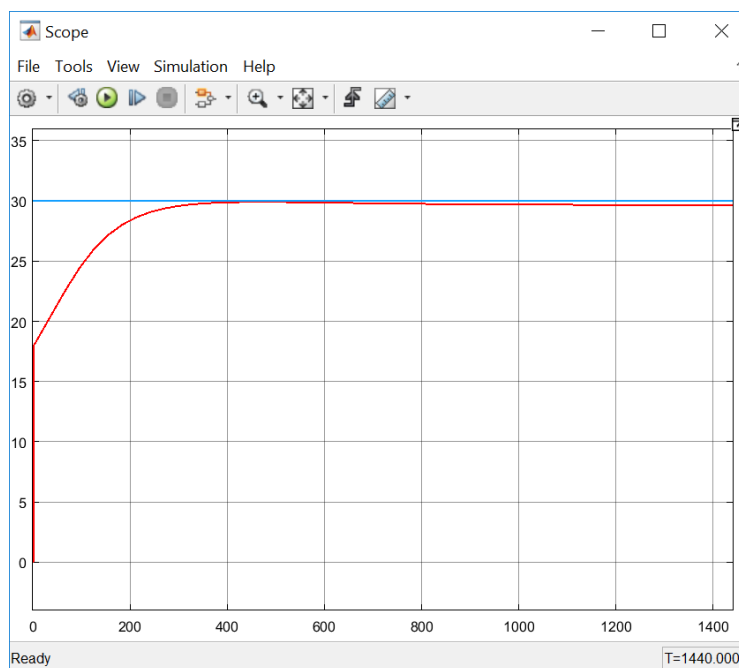


Рисунок 2.7 – Результат регулирования по температуре

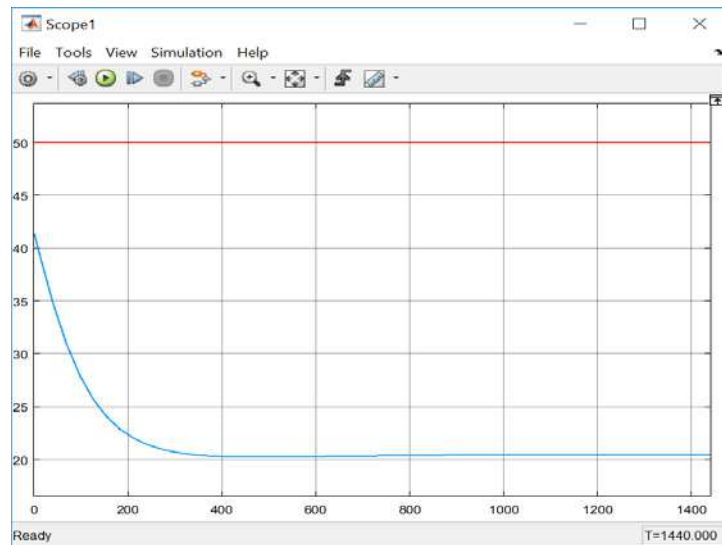


Рисунок 2.8 – Результат пересчета влажности

Данные:

Температура наружного воздуха = -15°C ;

Относительная влажность = 50°C ;

Уставка по температуре = 30°C .

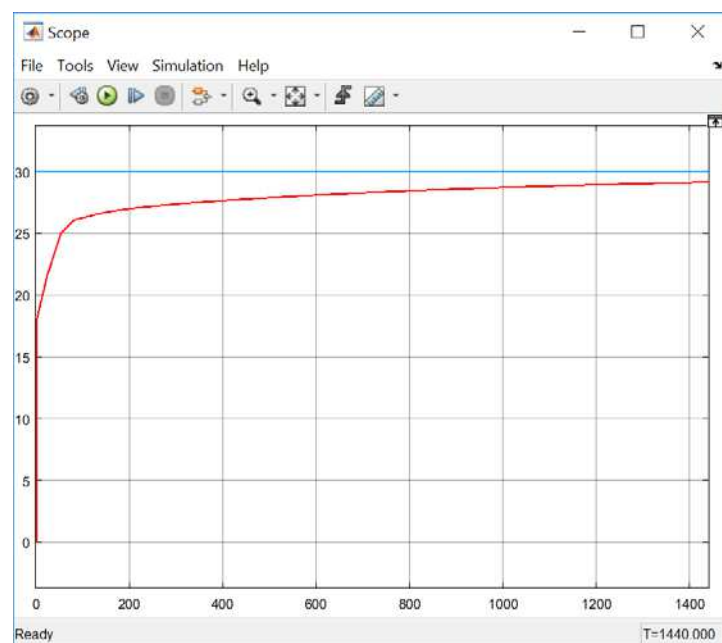


Рисунок 2.9 – Результат регулирования по температуре

Ине. № дубл.	Взам. инв. №	Подп. и дата
Ине. № подл	Подп. и дата	Ине. № дубл.
Ине. № инв.	Ине. № подл	Ине. № инв.

Ли	Изм.	№ докум.	Подп.	Дат

БР 15.03.06 ПЗ

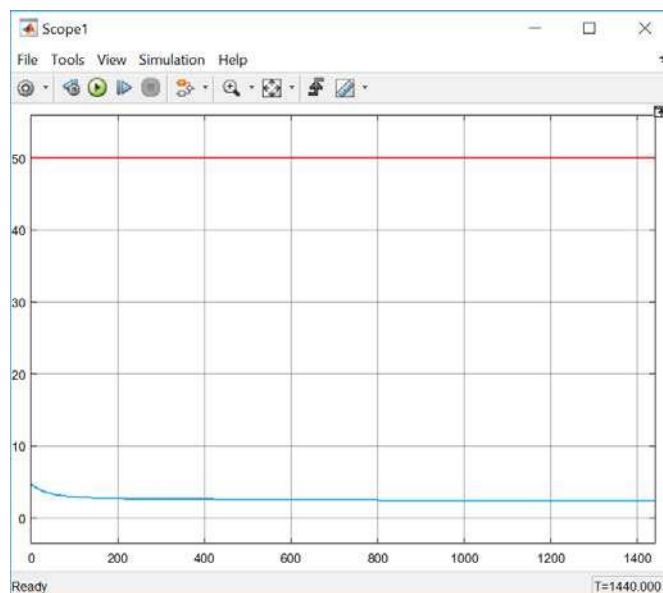


Рисунок 2.10 – Результат пересчета влажности

Данные:

Температура наружного воздуха = 25°C;

Относительная влажность = 50°C;

Уставка по температуре = 30°C.

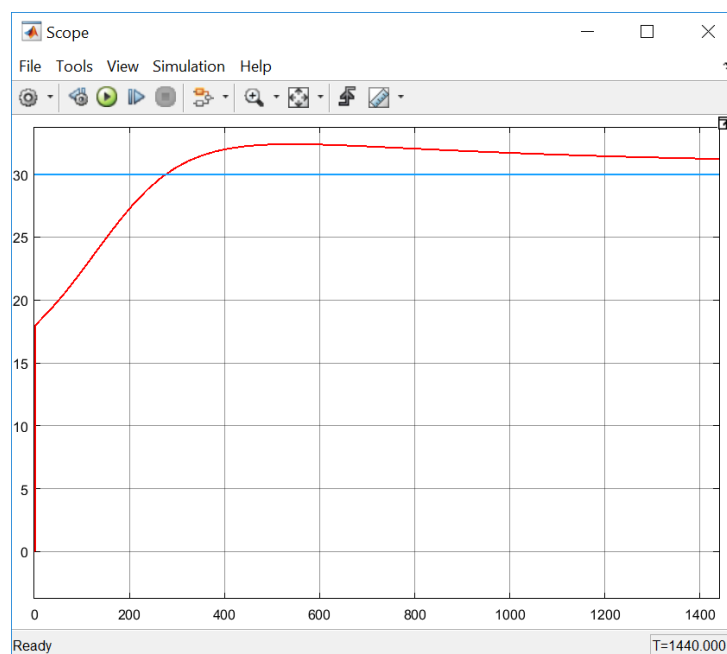


Рисунок 2.11 – Результат регулирования по температуре

Ине. № дубл.	Взам. инв. №	Подп. и дата
Ине. № подл	Подп. и дата	Ине. № дубл.
Ине. № инв.	Ине. № подл	Ине. № инв.

Ли	Изм.	№ докум.	Подп.	Дат

БР 15.03.06 ПЗ

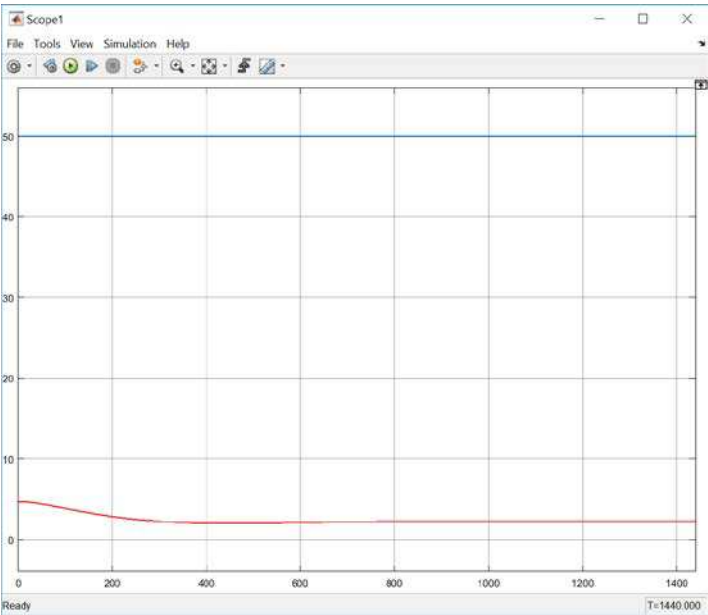


Рисунок 2.12 – Результат пересчета влажности

Инв. № подл	Подп. и дата				Инв. № дубл.	Взам. инв. №	Подп. и дата								
													БР 15.03.06 ПЗ		Ли
								Ли	Изм.	№ докум.	Подп.	Дат			

3. Разработка адаптивной системы управления

3.1 Структура адаптации

Поисковые СНС подразделяются на непрерывные и дискретные. Алгоритм оптимизации реализует прямые методы поиска (последовательный симплексный поиск, градиентный метод и их модификации).

В беспоисковых СНС в явном или неявном виде имеется модель с желаемыми динамическими характеристиками. Задача алгоритма адаптации состоит в настройке коэффициентов регулятора таким образом, чтобы свести рассогласование между объектом управления и моделью к нулю. Такое управление называют *прямым адаптивным управлением* (direct adaptive control), а системы – *адаптивными системами с эталонной моделью* (model reference adaptive systems). В случае *непрямого адаптивного управления* (indirect adaptive control); сначала проводят идентификацию объекта, а затем определяют соответствующие коэффициенты регулятора. Такие регуляторы называются *самонастраивающимися* (self-turning regulators).

При прямом адаптивном управлении контуры адаптации работают по замкнутому циклу. Это позволяет компенсировать изменения параметров объекта и регулятора. Однако каждый контур самонастройки повышает порядок системы как минимум на единицу и при этом существенно влияет на общую динамику замкнутой системы. Процесс адаптации в системах с самонастраивающимися (самооптимизирующимися) регуляторами (рисунок 3.1) реализуется в три этапа :

- идентификация ОУ или системы управления в целом;
- расчет регулятора;
- настройка регулятора (или изменение его структуры).

Инв. № подл.	Подп. и дата	Инв. № дубл.	Взам. инв. №	Подп. и дата						
Ли	Изм.	№ докум.	Подп.	Дат	БР 15.03.06 ПЗ					Лист
										37

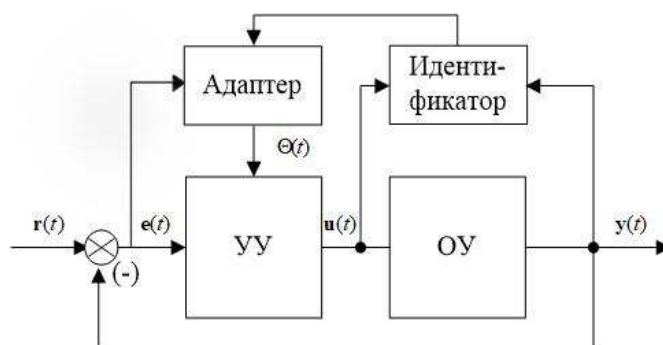


Рисунок 3.1 - Самонастраивающийся адаптивный регулятор

3.2 Идентификация

Экспериментальное определение параметров динамической модели предполагает измерение входных и выходных переменных объекта в дискретные моменты времени. Перейдем от непрерывной модели к дискретной с помощью Matlab. Для перехода используют команду `tf`, с добавлением в их синтаксис периода квантования T_0 [3].

Например, строка команды

`W1=tf(1,[237 1])`

```
W1 =

      1
-----
237 s + 1

Continuous-time transfer function.

Wz =

    0.2237
-----
z - 0.7763

Sample time: 60 seconds
Discrete-time transfer function.
```

Рисунок 3.2 – Вывод в command window Matlab

периода квантования T_0 [3].

Например, строка команды

```
W1=tf(1,[237 1])
```

```
W1 =
```

```

      1
-----
237 s + 1

```

```
Continuous-time transfer function.
```

```
Wz =
```

```

0.2237
-----
z - 0.7763

```

```
Sample time: 60 seconds
Discrete-time transfer function.
```

Рисунок 3.2 – Вывод в command window Matlab

БР 15.03.06 ПЗ

Лист

38

Первые реализованные в системах управления методы идентификации динамических объектов типа «вход-выход» были основаны на использовании частотных, ступенчатых и импульсных воздействий. Эти методы требуют специально спланированных входных сигналов, а именно ступенчатых сигналов для идентификации по переходной функции, импульсных входных сигналов для идентификации по весовой функции и синусоидальных входных сигналов с различными частотами для определения частотной характеристики. Большинство этих методов применимы для линейных процессов и частично для линеаризованных и основаны на преобразовании Фурье.

Спектральные соотношения входных и выходных сигналов также можно использовать для идентификации параметров частотных функций динамических процессов.

В настоящее время для идентификации динамических процессов широкое применение нашли методы регрессионного анализа (метод наименьших квадратов), методы стохастической аппроксимации и последовательного обучения, метод квазилинеаризации, градиентный метод с прогнозом, эвристические методы идентификации.

Рассмотрим методы идентификации динамических объектов, основанные на регрессионных процедурах с использованием метода наименьших квадратов.

Рассмотрим одномерный дискретный динамический объект (рисунок 3.2).

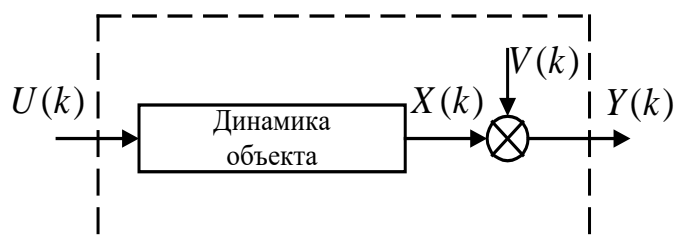


Рисунок 3.3 - Одномерный динамический объект

Модель объекта представим в виде разностного уравнения

$$x(k) = a_1 x(k-1) + \dots + a_n x(k-n) + b_1 u(k-d-1) + \dots + b_m u(k-d-m), \quad (3.1)$$

Инв. № подл.	Подп. и дата	Взам. инв. №	Инв. № дубл.	Подп. и дата	Инв. № подл.	Лист
Ли	Изм.	№ докум.	Подп.	Дат	БР 15.03.06 ПЗ	
						39

и уравнение наблюдения

$$y(k) = x(k) + v(k),$$

где

$$\left. \begin{aligned} u(k) &= U(k) - \bar{U} \\ y(k) &= Y(k) - \bar{Y} \end{aligned} \right\} - \quad (3.2)$$

центрированные переменные; $U(k)$, $Y(k)$ – абсолютные сигналы входа и выхода, \bar{U} , \bar{Y} – установившиеся значения входа и выхода.

Следовательно, переменные $u(k)$ и $y(k)$ являются вариациями абсолютных сигналов относительно установившихся значений.

Величина d определяет запаздывание, равное целому числу тактов квантования.

Неизмеряемую вариацию выходной переменной $x(k)$ подставим в уравнение наблюдения и получим

$$y(k) = a_1 x(k-1) + \dots + a_n x(k-n) + b_1 u(k-d-1) + \dots + b_m u(k-d-m) + V_k. \quad (3.3)$$

Выражая в (3.3) аналогично остальные значения $x(k-1)$, $x(k-2)$, ..., $x(k-n)$ через наблюдаемые значения $y(k-1)$, $y(k-2)$, ..., $y(k-n)$, получим

$$y(k) = \psi^T(k) \cdot \theta(k-1) + V(k), \quad (3.4)$$

где $y(k)$ – наблюдаемое (измеренное) значение вариации выходной переменной;

$$\psi^T(k) = [y(k-1) y(k-2) \dots y(k-n) : u(k-d-1) \dots u(k-d-m)] \quad (3.5)$$

– вектор-строка наблюдаемых значений вариаций выходной переменной и входного воздействия, размерности $[(n+m) \times 1]$;

$\theta^T(k-1) = (a_1 a_2 \dots a_n : b_1 b_2 \dots b_m)$ – вектор-строка неизвестных параметров модели (3.1) на $(k-1)$ такте измерений, размерности $[1 \times (n+m)]$.

Структура строки (3.5) повторяет структуру правой части уравнения (3.3) при замене $x(k)$ наблюдением $y(k)$, $x(k-1)$ соответственно $y(k-1)$ и т.д.

Допустим, что измерения выполнены на интервале $k = 1, 2, \dots, n + d + N$.

Результаты эксперимента представим согласно (3.4) в векторно-матричной

Инв. № подл.	Подп. и дата	Инв. № дубл.	Взам. инв. №	Подп. и дата						Лист 40
Ли	Изм.	№ докум.	Подп.	Дат	БР 15.03.06 ПЗ					

форме

$$Y(n+d+N) = \psi(n+d+N)\theta(n+d+N-1) + V(n+d+N), \quad (3.6)$$

где

$$Y(n+d+N) = \begin{pmatrix} y(n+d) \\ y(n+d+1) \\ \dots \\ y(n+d+N) \end{pmatrix}; \quad (3.7)$$

$$\psi(n+d+N) = \begin{pmatrix} y(n+d-1) & y(n+d-2) & \dots & y(d) \\ y(n+d) & y(n+d-1) & \dots & y(d+1) \\ \dots & \dots & \dots & \dots \\ y(n+d+N-1) & y(n+d+N-2) & \dots & y(N+d) \\ \vdots & u(m-1) & u(m-2) & \dots & u(0) \\ \vdots & u(m) & u(m-1) & \dots & u(1) \\ \vdots & \dots & \dots & \dots & \dots \\ \vdots & u(m+N-1) & u(m+N-2) & \dots & y(N) \end{pmatrix} \quad (3.8)$$

Для получения оценок неизвестных параметров θ воспользуемся методом наименьших квадратов.

Тогда из (3.6) непосредственно имеем

$$\theta(n+d+N-1) = C(n+d+N)\psi^T(n+d+N)Y(n+d+N), \quad (3.9)$$

где

$$C(n+d+N) = [\psi^T(n+d+N)\psi(n+d+N)]^{-1}, \quad (3.10)$$

при условии, что $N \geq 2n$.

Выражение (3.9) может быть реализовано после того, как сформирован массив, содержащий все измерения вариаций входных и выходных сигналов.

Процедура (3.9) аналогична процедуре для статических моделей.

Рекуррентный метод наименьших квадратов (РМНК).

Результаты эксперимента (3.9) можно обработать также РМНК

$$\hat{\theta}(k) = \hat{\theta}(k-1) + \gamma(k)[y(k) - \psi^T(k)\hat{\theta}(k-1)], \quad k=1,2,\dots \quad (3.11)$$

где вектор коррекции

Инв. № подл	Подп. и дата					Лист 41
	Инв. № дубл.					
	Взам. инв. №					
	Подп. и дата					
Для получения оценок неизвестных параметров θ воспользуемся методом наименьших квадратов.						
Тогда из (3.6) непосредственно имеем						
$\theta(n + d + N - 1) = C(n + d + N)\psi^T(n + d + N)Y(n + d + N), \tag{3.9}$						
где						
$C(n + d + N) = [\psi^T(n + d + N)\psi(n + d + N)]^{-1}, \tag{3.10}$						
при условии, что $N \geq 2n$.						
Выражение (3.9) может быть реализовано после того, как сформирован массив, содержащий все измерения вариаций входных и выходных сигналов.						
Процедура (3.9) аналогична процедуре для статических моделей.						
<i>Рекуррентный метод наименьших квадратов (РМНК).</i>						
Результаты эксперимента (3.9) можно обработать также РМНК						
$\hat{\theta}(k) = \hat{\theta}(k - 1) + \gamma(k)[y(k) - \psi^T(k)\hat{\theta}(k - 1)], \quad k = 1, 2, \dots \tag{3.11}$						
где вектор коррекции						
БР 15.03.06 ПЗ					Лист	
Ли	Изм.	№ докум.	Подп.	Дат	41	

$$\gamma(k) = \frac{C(k-1)\psi(k)}{1 + \psi^T(k)C(k-1)\psi(k)}, \quad (3.12)$$

а ковариационная матрица оценок параметров

$$C(k) = C(k-1) - \gamma(k)\psi^T(k)C(k-1). \quad (3.13)$$

В уравнении (3.11) выражение в квадратной скобке равно невязке между измеренным на объекте значением выходной переменной $y(k)$ и предсказанной по модели с оценками, полученными на предыдущем такте вычислений

$$e(k) = [y(k) - \hat{y}(k)], \quad (3.14)$$

где

$$\hat{y}(k) = \psi^T(k)\hat{\theta}(k-1). \quad (3.15)$$

Исходными данными для алгоритма служат

$$\hat{\theta}(0) = 0; C(0) = \alpha I_{(n+m) \times (n+m)} \quad (3.16)$$

причем число α должно быть достаточно велико.

Полученные оценки (3.11) будут несмещенными $M\{\hat{\theta}(N)\} = \theta$ при конечном N и состоятельны в среднем квадратичном $\lim_{N \rightarrow \infty} M\{\hat{\theta}(N)\} = \theta$, $\lim_{N \rightarrow \infty} M\{[\hat{\theta}(N) - \theta][\hat{\theta}(N) - \theta]^T\} = 0$, если выполняются следующие условия []:

- порядок объекта n и величина запаздывания d известны (структурная адекватность);
- измерение входного сигнала $u(k) = U(k) - \bar{U}$ – производятся без ошибок, и известно установившееся значение входа \bar{U} ;
- входной сигнал представляет собой возбуждающий процесс порядка не ниже n ;
- на выходной сигнал $x(k) = X(k) - \bar{X}$ может действовать возмущение в виде стационарного шума $V(k)$. Установившееся значение \bar{X} известно и равно величине \bar{U} , умноженной на статический коэффициент усиления объекта;
- невязка $e(k)$ не коррелирована с элементами вектора данных $\psi^T(k)$;

Инв. № подл.	Подп. и дата				Лист 42
	Взам. инв. №				
	Инв. № дубл.				
	Подп. и дата				
Ли	Изм.	№ докум.	Подп.	Дат	БР 15.03.06 ПЗ

$$- M \{e(k)\} = 0.$$

При этом сходимость оценок зависит от выбора исходных значений $C(0)$ и $\hat{\theta}(0)$.

Для получения вариации $u(k)$ и $y(k)$ необходимо либо иметь оценки установившихся значений \bar{U} и \bar{Y} , либо перестроить алгоритм оценивания.

Использование разностей.

Так для получения вариаций в отсутствие информации об установившихся значениях переменных переходят к разностям

$$\left. \begin{aligned} U(k) - U(k-1) &= u(k) - u(k-1) = \Delta u(k) \\ Y(k) - Y(k-1) &= y(k) - y(k-1) = \Delta y(k) \end{aligned} \right\}. \quad (3.17)$$

В процедуре (3.11) используют разности (3.11).

Текущее усреднение.

Другой подход состоит в оценке текущего среднего значения [21]

$$\bar{Y}(k) = \bar{Y}(k-1) + \frac{1}{k} [Y(k) - \bar{Y}(k-1)], \quad (3.18)$$

$$\bar{U}(k) = \bar{U}(k-1) + \frac{1}{k} [U(k) - \bar{U}(k-1)], \quad (3.19)$$

и переход к вариациям по формулам

$$\left. \begin{aligned} u(k) &= U(k) - \bar{U}(k) \\ y(k) &= Y(k) - \bar{Y}(k) \end{aligned} \right\}. \quad (3.20)$$

Оценивание свободного члена.

Третий подход связан с введением постоянной составляющей (константы), являющейся совместной оценкой установившихся уровней. Так, если разности (3.2) подставить в уравнение (3.1), то после преобразований имеем

$$X(k) = -a_1 X(k-1) - \dots - a_n X(k-n) + b_1 U(k-d-1) + \dots + b_m U(k-d-m) + q, \quad (3.21)$$

где константа

$$q = (1 + a_1 + \dots + a_n) \bar{X} - (b_1 + \dots + b_m) \bar{U}. \quad (3.22)$$

Если расширить вектор $\theta(k-1)$ константой q , а вектор данных $\psi^T(k)$

Инв. № подл.	Подп. и дата				Лист
Инв. № дубл.	Взам. инв. №				43
Инв. № подл.	Подп. и дата				БР 15.03.06 ПЗ
Инв. № подл.	Подп. и дата				Лист
Инв. № подл.	Подп. и дата				43
Ли	Изм.	№ докум.	Подп.	Дат	

$$\overline{U}(k) = \overline{U}(k-1) + \frac{1}{k} [U(k) - \overline{U}(k-1)], \tag{3.19}$$

и переход к вариациям по формулам

$$\left. \begin{aligned} u(k) &= U(k) - \overline{U}(k) \\ y(k) &= Y(k) - \overline{Y}(k) \end{aligned} \right\}. \tag{3.20}$$

Оценивание свободного члена.

Третий подход связан с введением постоянной составляющей (константы), являющейся совместной оценкой установившихся уровней. Так, если разности (3.2) подставить в уравнение (3.1), то после преобразований имеем

$$X(k) = -a_1 X(k-1) - \dots - a_n X(k-n) + b_1 U(k-d-1) + \dots + b_m U(k-d-m) + q, \tag{3.21}$$

где константа

$$q = (1 + a_1 + \dots + a_n) \overline{X} - (b_1 + \dots + b_m) \overline{U}. \tag{3.22}$$

Если расширить вектор $\theta(k-1)$ константой q , а вектор данных $\psi^T(k)$

составляющей $Y_0 = 1$, то можно в процедуре (3.11) использовать непосредственные измерения $Y(k)$ и $U(k)$.

При этом будем получать и оценку \hat{q} . Если априори известно \bar{U} или \bar{Y} , то по (3.14) при известном (оцененном) \hat{q} легко вычислить другое установившееся значение \bar{Y} или \bar{U} .

Далее был собран блок идентификации и внедрен в полную модель.

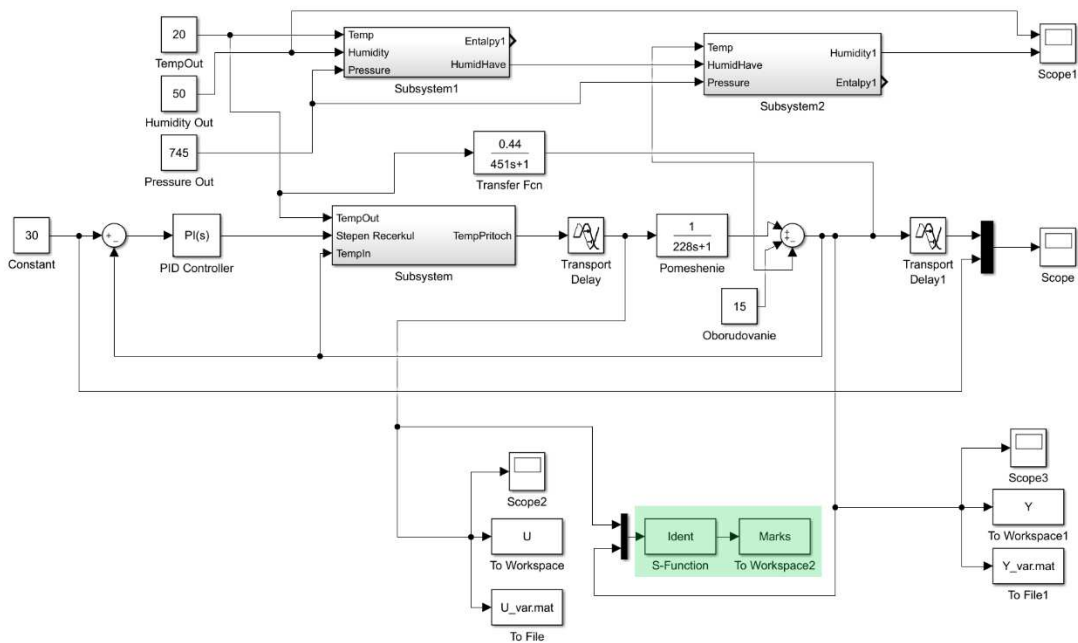


Рисунок 3.4 - Полная модель с системой идентификации

3.3 Адаптация параметров регулятора

Для адаптации было принято решение заменить стандартный ПИД – регулятор на нейросетевой ПИД – регулятор (рисунок 3.4) [4].

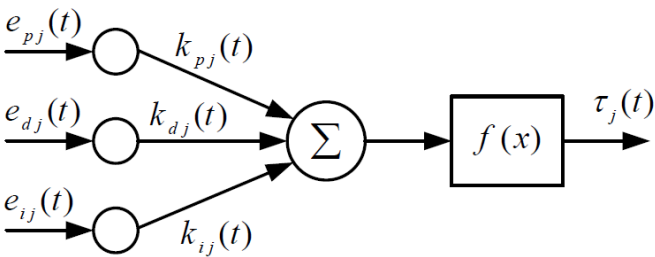


Рисунок 3.5 – Структура ПИД-регулятора на основе нейронной сети

Здесь k_{pj} , k_{ij} , k_{dj} ($j = 1$) являются пропорциональным, интегральным и дифференциальным коэффициентом, а e_{pj} , e_{ij} , e_{dj} системными ошибками между желаемым и реальным значением, интегралом ошибки и дифференциалом ошибки. Выходное значение τ_j можно получить из следующего уравнения:

$$\tau_j = f(x), \quad (3.21)$$

Где x является входом вход сигмовидной функции f , которая имеет нелинейное соотношение, представленное в следующей функции:

$$f(x) = \frac{2(1-e^{-ax})}{a(1-e^{-ax})}, \quad (3.22)$$

где a - параметр, определяющий форму сигмовидной функции.

$$x(t) = k_{pj}(t)e_{pj}(t) + k_{ij}(t)e_{ij}(t) + k_{dj}(t)e_{dj}(t), \quad (3.23)$$

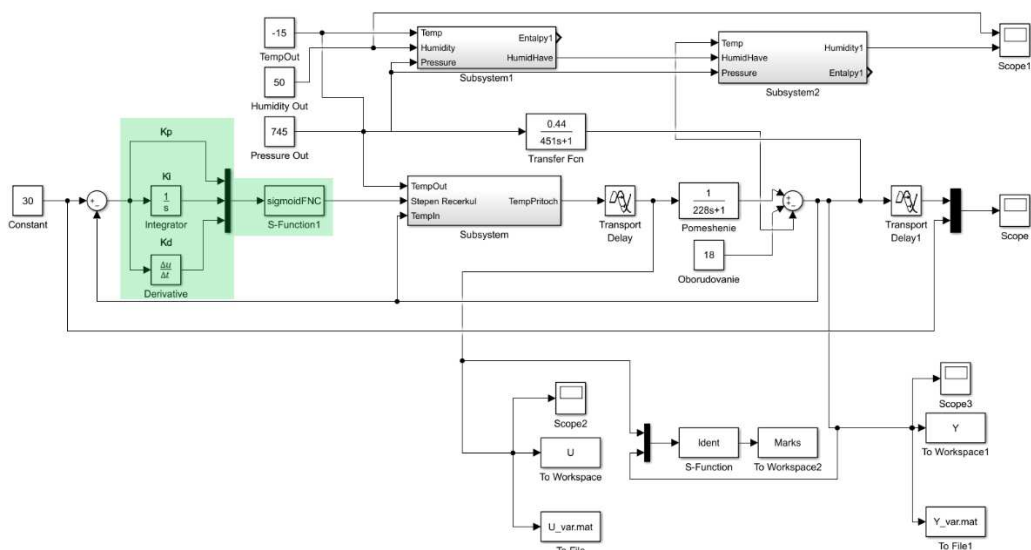


Рисунок 3.6 – Полная модель с адаптивной СУ

Результаты работы модели после адаптации параметров регулятора:

Данные:

Температура наружного воздуха = 15°C;

Относительная влажность = 50°C;

Уставка по температуре = 30°C.

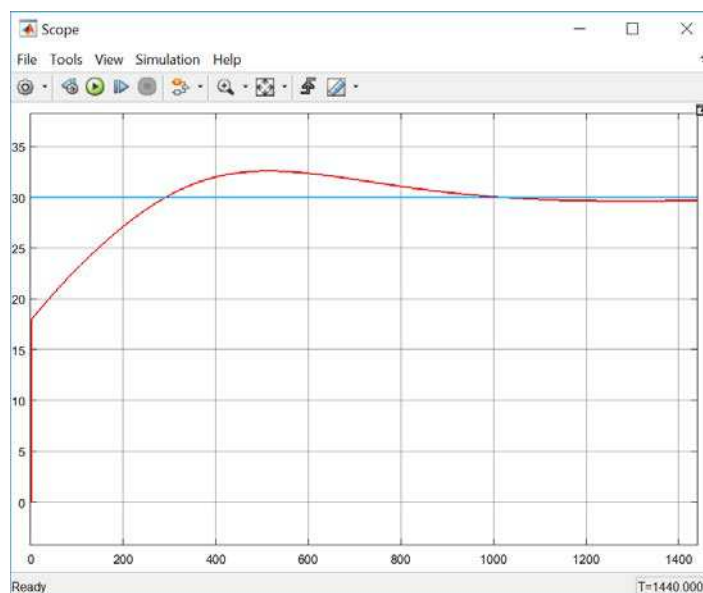


Рисунок 3.7 – Результат регулирования по температуре

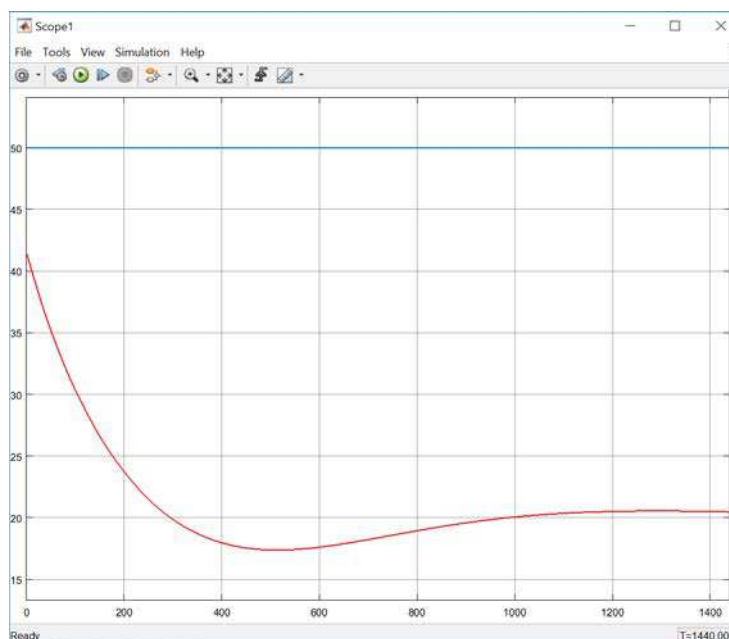


Рисунок 3.8 – Результат пересчета влажности

Подп. и дата	
Взам. инв. №	
Инв. № дубл.	
Подп. и дата	
Инв. № подл.	

Ли	Изм.	№ докум.	Подп.	Дат

Данные:

Температура наружного воздуха = 25°C;

Относительная влажность = 50°C;

Уставка по температуре = 30°C.

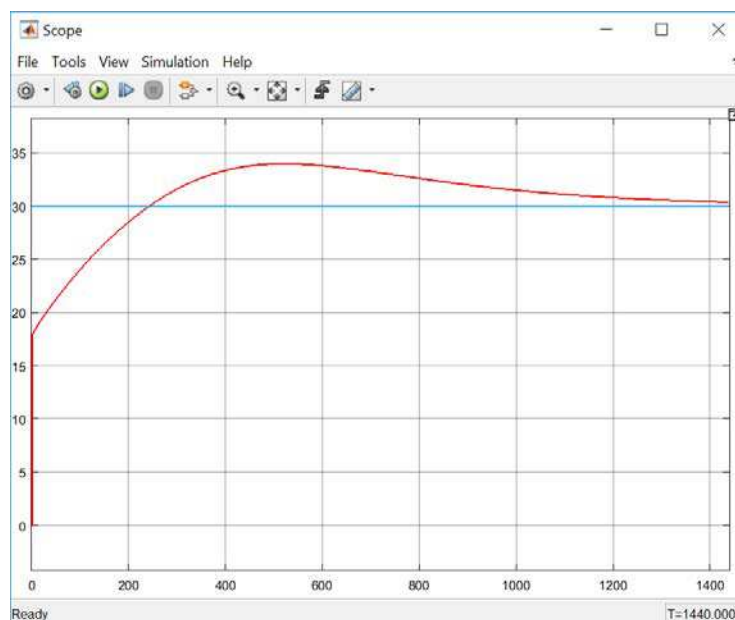


Рисунок 3.9 – Результат регулирования по температуре

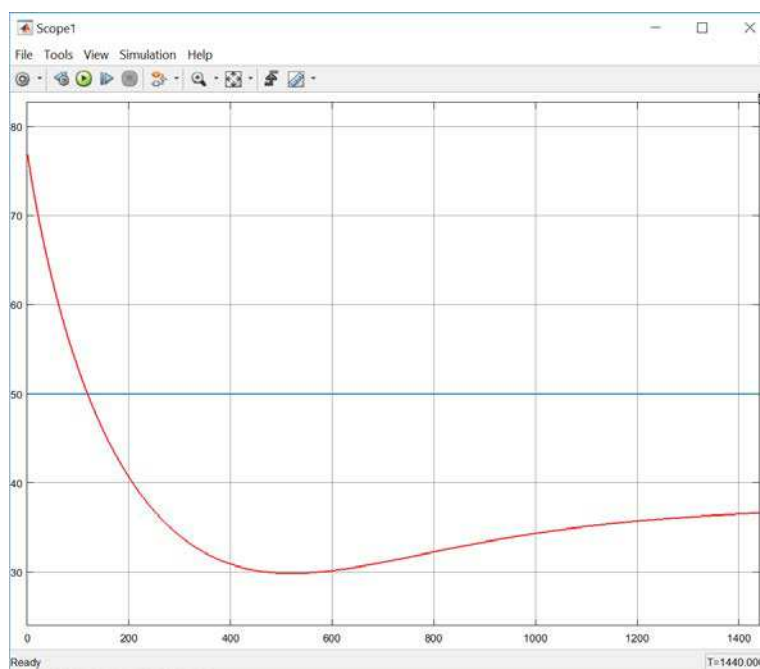


Рисунок 3.10 – Результат пересчета влажности

Подп. и дата	
Взам. инв. №	
Инв. № дубл.	
Подп. и дата	
Инв. № подл	

Ли	Изм.	№ докум.	Подп.	Дат
----	------	----------	-------	-----

Данные:

Температура наружного воздуха = -15°C ;

Относительная влажность = 50°C ;

Уставка по температуре = 30°C .

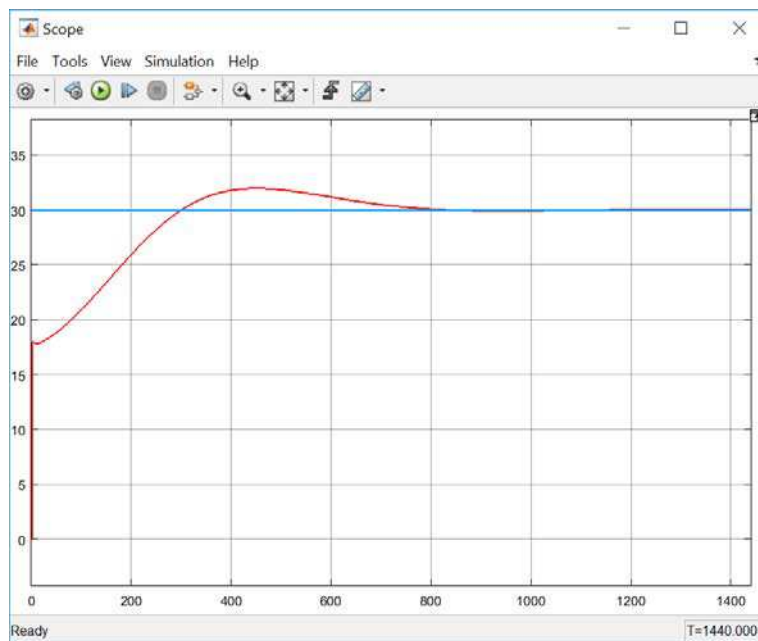


Рисунок 3.11 – Результат регулирования по температуре

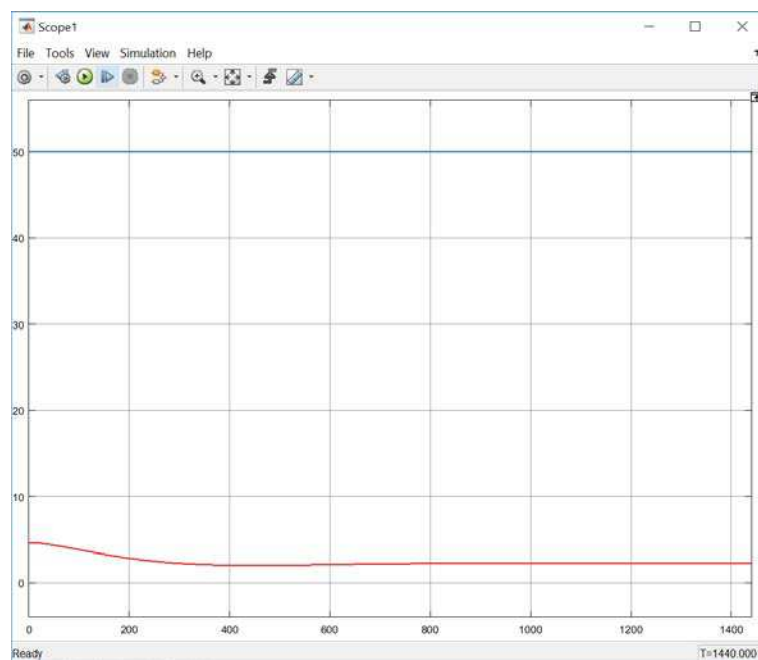


Рисунок 3.12 – Результат пересчета влажности

Подп. и дата	Взам. инв. №	Инв. № дубл.	Подп. и дата	Инв. № подл.

Ли	Изм.	№ докум.	Подп.	Дат

4.1 Изменение функциональной схемы (выбор датчиков)

[illegible]

4.2 Изменение принципиальной схемы

В связи с изменениями функциональной схемы требуется доработать принципиальную схему.

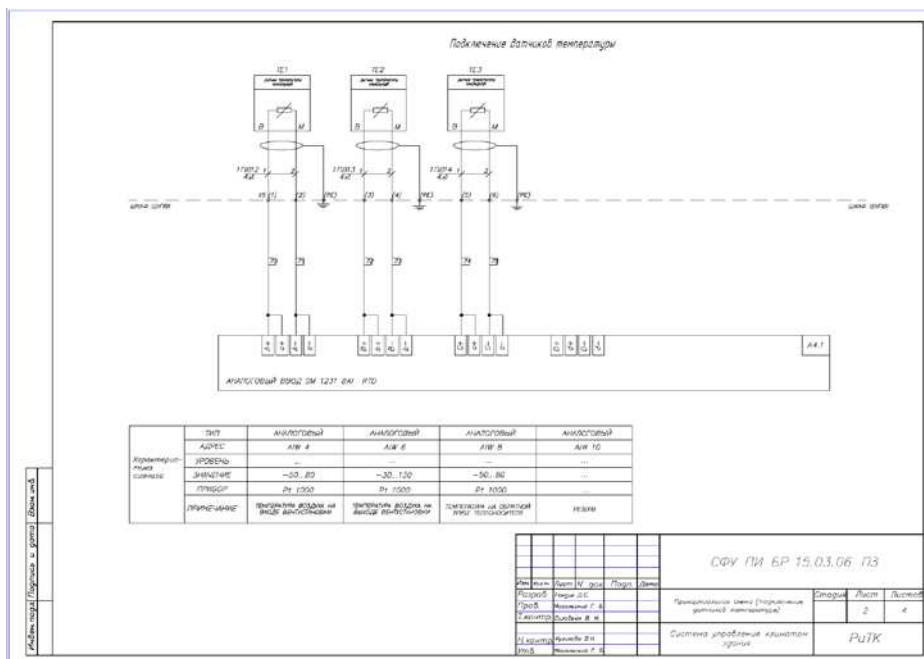


Рисунок 4.2 – Измененная принципиальная схема

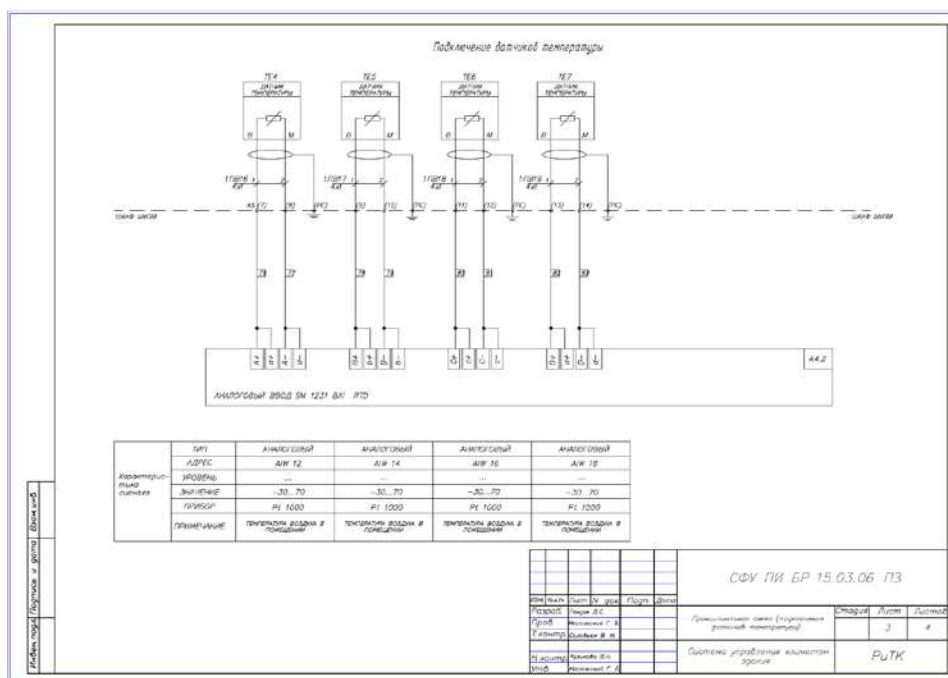


Рисунок 4.3 – Измененная принципиальная схема

Подп. и дата

Взам. инв. №

Инв. № дубл.

Подп. и дата

Инв. № подл

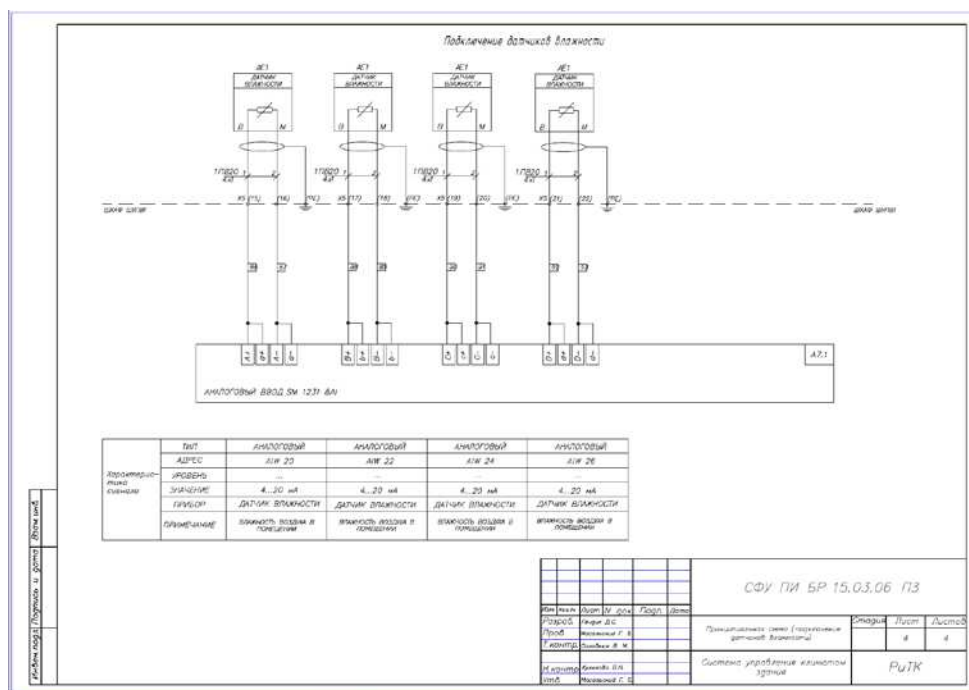


Рисунок 4.4 – Измененная принципиальная схема

Из-за увеличения количества датчиков было необходимо заменить модуль аналогового ввода с четырех канального на восьми канальный, для этого подошел модуль SM 1231 RTD 8 X AI RTD.

4.3 Спецификация нового оборудования

Датчик температуры RTF1 PT1000:



Рисунок 4.5 – Датчик температуры RTF1 PT1000 S+S Regeltechnik.

Инв. № подл	Подп. и дата	Инв. № дубл.	Взам. инв. №	Подп. и дата

Инв. № подл	Подп. и дата	Инв. № дубл.	Взам. инв. №	Подп. и дата

Инв. № подл	Подп. и дата	Инв. № дубл.	Взам. инв. №	Подп. и дата



Инв. № подл	Подп. и дата	Инв. № дубл.	Взам. инв. №	Подп. и дата

Инв. № подл	Подп. и дата	Инв. № дубл.	Взам. инв. №	Подп. и дата

Инв. № подл	Подп. и дата	Инв. № дубл.	Взам. инв. №	Подп. и дата

Продолжение таблицы 4.2

Чувствительный элемент:	0-10 В или 4...20 мА
Степень защиты	IP 30

Модуль аналогового ввода SM 1231 RTD 8 X AI RTD:

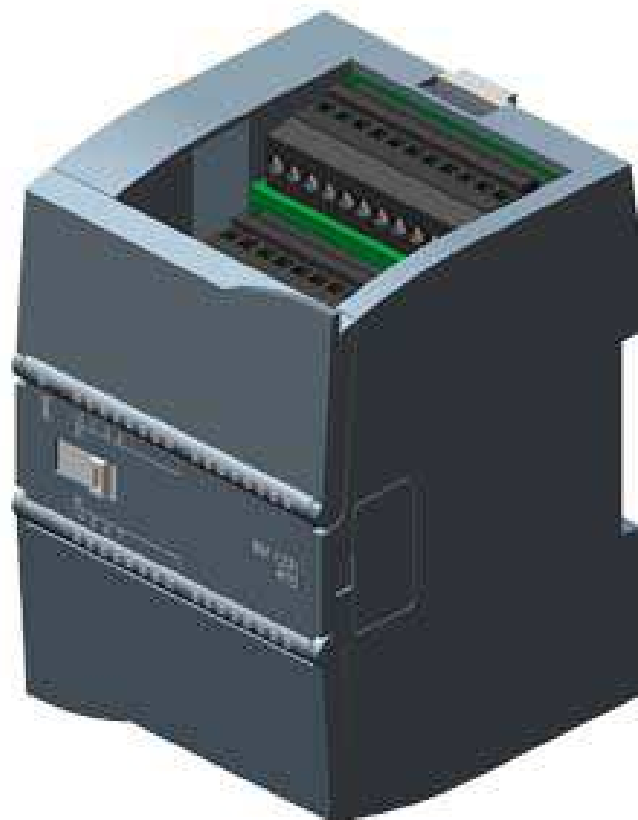


Рисунок 4.7 – Модуль аналогового ввода SM 1231 RTD 8 X AI RTD SIEMENS.

Таблица 4.3 – Технические характеристики модуля аналогового ввода

Напряжение питания	Номинальное значение (пост. ток) 24 В пост. тока
Входной ток	Потребление тока, тип. 40 мА Из шины на задней стойке 5 В пост. тока, тип. 80 мА
Рассеиваемая мощность	1.5 W
Аналоговые входы	Число аналоговых входов 8

Инв. № подл	Подп. и дата	Инв. № дубл.	Взам. инв. №	Подп. и дата						
Ли	Изм.	№ докум.	Подп.	Дат	БР 15.03.06 ПЗ					Лист
										53

Продолжение таблицы 4.3

Степень защиты и класс защиты	Степень защиты согласно EN 60529 IP20
Температура окружающей среды при эксплуатации	-20°C...+60°C

4.4 Алгоритм контроля

Для управления системой были разработаны схемы алгоритмов включения, выключения и контроля параметров помещения.

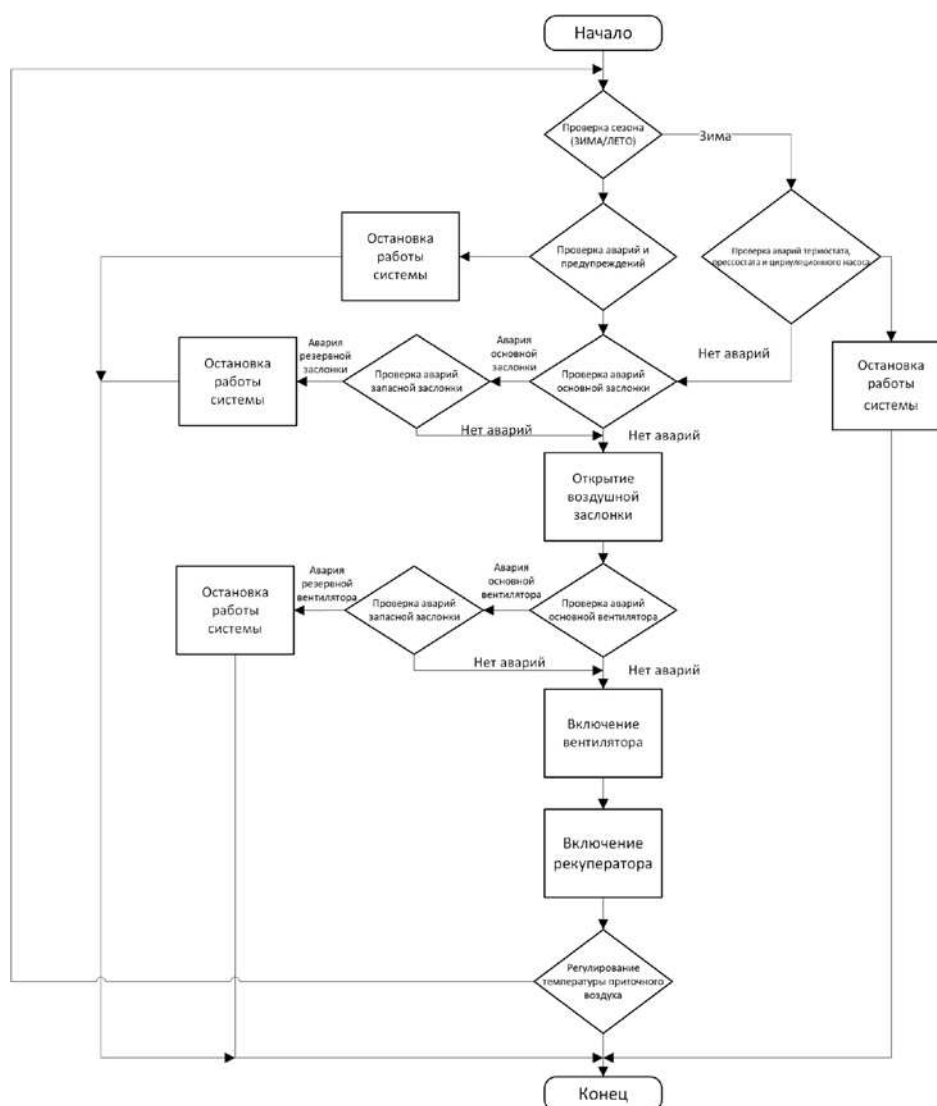


Рисунок 4.8 – Схема алгоритма включения установки

Инв. № подл.	Подп. и дата
Инв. № дубл.	Взам. инв. №
Подп. и дата	Подп. и дата
Инв. № подл.	Подп. и дата

Ли	Изм.	№ докум.	Подп.	Дат
----	------	----------	-------	-----



Рисунок 4.9 – Схема алгоритма выключения установки

Ине. № подл	Подп. и дата	Ине. № дубл.	Взам. инв. №	Подп. и дата

Ли	Изм.	№ докум.	Подп.	Дат

5 Безопасность и экологичность проекта

5.1 Монтаж кабелей

Монтажные провода по площади сечения должны соответствовать току нагрузки и допускаемому падению напряжения, обладать необходимой механической и электрической прочностью. Предпочтительно применять провода с изоляцией, стойкой к воздействию клеев, влагозащитных лаков и растворителей, а также к влиянию внешних воздействующих факторов. Не допускается применять монтажные провода с поврежденной изоляцией, надрезами жилы провода и другими дефектами, снижающими их механическую и электрическую прочность. Не допускается деформация и повреждение изоляции проводов в момент захвата инструментом, наличие заусенцев на токопроводящих жилах. Неизолированные провода, применяемые при монтаже, должны иметь антикоррозионное покрытие. Минимальный радиус изгиба проводов должен быть не менее значения, указанного в ТУ на них. При отсутствии таких указаний радиус изгиба должен быть не менее двукратной величины наружного диаметра [5].

Монтажные провода, жгуты и кабели должны быть прикреплены к элементам конструкции и не должны располагаться на острых кромках и ребрах шасси, узлов и аппаратуры. В случае, если это выполнить невозможно, допускается прокладка проводов, жгутов и кабелей на ребрах и кромках шасси при условии обеспечения мер, предохраняющих провода, жгуты и кабели от повреждений (обмотка лентами, применение изоляционных прокладок, трубок). Монтажные провода, плоские кабели в местах соединения перед пайкой должны быть механически закреплены.

Если в гибком кабеле имеются экранированные провода, то все экраны должны быть спаяны между собой и заведены на контакт "земля", если иное не оговорено в КД. При снятии изоляции с ленточных проводов с многопроволочными жилами скрутку проволок необходимо сохранить.

Инв. № подл	Подп. и дата	Инв. № дубл.	Взам. инв. №	Подп. и дата						
Ли	Изм.	№ докум.	Подп.	Дат	БР 15.03.06 ПЗ					Лист
										57

5.2 Работа с электроинструментом

Электроинструмент, ручные электрические машины, переносные трансформаторы и ручные электрические светильники должны быть безопасными в работе, не иметь доступных для случайного прикосновения токоведущих частей, не иметь повреждений корпусов и изоляции питающих проводов [6].

Применение электроинструмента допускается только по назначению в соответствии с требованиями, указанными в паспорте завода-изготовителя.

Корпус электроинструмента класса I, работающего при напряжении выше 42В (независимо от частоты тока), должен быть заземлен.

Заземление корпуса электроинструмента должно осуществляться с помощью жилы питающего провода, которая не должна одновременно служить проводником рабочего тока. Использовать для этой цели нулевой заземленный рабочий провод запрещается. В связи с этим для питания трехфазного электроинструмента должен быть оснащен на конце вилкой, имеющей соответствующее число рабочих контактов и один заземляющий.

При проведении работ в помещении с повышенной опасностью применяются ручные электрические светильники напряжением не выше 42В.

При работах в особо неблагоприятных условиях должны использоваться ручные светильники напряжением не выше 12 В.

Перед началом работ с электроинструментом и ручными электрическими светильниками необходимо произвести:

- проверку комплектности и надежности крепления деталей;
- проверку внешним осмотром исправности кабеля (шнура), его защитной трубки и штепсельной вилки;
- проверку целостности изоляционных деталей корпуса, рукоятки и крышек щеткодержателей;
- проверку наличия защитных кожухов и их исправности;
- проверку четкости работы выключателя.

Инв. № подл.	Подп. и дата	Инв. № дубл.	Взам. инв. №	Подп. и дата						
Ли	Изм.	№ докум.	Подп.	Дат	БР 15.03.06 ПЗ					Лист
										58

Инв. № подл	Подп. и дата	Инв. № дубл.	Взам. инв. №	Подп. и дата

- подготовить рабочее место к работе, согласно требованиям технологического процесса;
- проверить заземление станка;
- проверить исправность и наличие защитных, предохранительных приспособлений на всех станках, индивидуальных средств защиты, предусмотренных технологией, не приступать к работе при их отсутствии или не исправности;
- проверить исправность инструмента, их установку и надежность крепления (сверл, кругов, пил, ножей, фрез и т.п.);
- перед пуском станка обязательно проверить вал с режущим инструментом, вращая его вручную;
- подготовить рабочую зону, убрать посторонние предметы и не используемый инструмент.

- обрабатываемый материал должен двигаться справа на лева по отношению к работающему;
- не производить проверку точности обработки деталей на станках в рабочей зоне до полной остановки станка (режущего инструмента и механизма подачи);
- во время работы должна быть включена вытяжная вентиляция;
- во время работы запрещается разговаривать;
- свет от лампочки не должен попадать в глаза и ослеплять работающего.

Ли	Изм.	№ докум.	Подп.	Дат

Лист
59

выключить станок и убедиться в полной остановке всех механизмов.

5.4 Охрана труда при оперативном обслуживании и осмотрах электроустановок

Оперативные переключения должны выполнять работники, осуществляющие оперативное управление и обслуживание электроустановок (осмотр, оперативные переключения, подготовку рабочего места, допуск и надзор за работающими, выполнение работ в порядке текущей эксплуатации) (далее - оперативный персонал), или работники, специально обученные и подготовленные для оперативного обслуживания в утвержденном объеме закрепленных за ним электроустановок (далее - оперативно-ремонтный персонал), допущенные к работам ОРД организации или обособленного подразделения [].

В электроустановках напряжением выше 1000 В работники из числа оперативного персонала, единолично обслуживающие электроустановки, и старшие по смене должны иметь группу по электробезопасности (далее - группа) IV, остальные работники в смене - группу III.

В электроустановках напряжением до 1000 В работники из числа оперативного персонала, единолично обслуживающие электроустановки, должны иметь группу III. Вид оперативного обслуживания электроустановок, а также число работников из числа оперативного персонала в смене устанавливается ОРД организации или обособленного подразделения. При оперативном обслуживании, осмотрах электроустановок, а также выполнении работ в электроустановках не допускается приближение людей, гидравлических подъемников, телескопических вышек, экскаваторов, тракторов, автопогрузчиков, бурильно-крановых машин, выдвижных лестниц с механическим приводом (далее - механизмы) и технических устройств цикличного действия для подъема и перемещения груза (далее - грузоподъемных машин) к находящимся под напряжением неогражденным токоведущим частям на расстояния менее регламентируемых.

Инв. № подл.	Подп. и дата	Инв. № дубл.	Взам. инв. №	Подп. и дата	Инв. № подл.					
Ли	Изм.	№ докум.	Подп.	Дат	БР 15.03.06 ПЗ					Лист
										60

Единоличный осмотр электроустановки, электротехнической части технологического оборудования имеет право выполнять работник из числа оперативного персонала, имеющий группу не ниже III, обслуживающий данную электроустановку в рабочее время или находящийся на дежурстве, либо работник из числа административно-технического персонала (руководители и специалисты, на которых возложены обязанности по организации технического и оперативного обслуживания, проведения ремонтных, монтажных и наладочных работ в электроустановках (далее - административно-технический персонал), имеющий группу V - для электроустановок напряжением выше 1000 В, и работник, имеющий группу IV - для электроустановок напряжением до 1000 В. Право единоличного осмотра предоставляется на основании ОРД организации (обособленного подразделения).

Допустимые расстояния до токоведущих частей электроустановок, находящихся под напряжением

Напряжение электроустановок, кВ		Расстояние от работников и применяемых ими инструментов и приспособлений, от временных оградений, м	Расстояния от механизмов и грузоподъемных машин в рабочем и транспортном положении от стропов, грузозахватных приспособлений и грузов, м
До 1	ВЛ	0,6	1,0
	В остальных электроустановках	не нормируется (без прикосновения)	1,0
1 - 35		0,6	1,0
60*, 110		1,0	1,5
150		1,5	2,0
220		2,0	2,5
330		2,5	3,5
400*, 500		3,5	4,5
750		5,0	6,0
1150		8,0	10,0

Рисунок 5.1 – Допустимые расстояния до токоведущих частей электроустановок, находящихся под напряжением

5.5 Обеспечение благоприятных микроклиматических условий

Категория работ относится к I – ой (подгруппа б), так как работы производятся сидя, стоя или связаны с ходьбой и сопровождающиеся некоторым физическим напряжением

Основными параметрами микроклимата являются температура, скорость

Инв. № подл.	Подп. и дата	Инв. № дубл.	Взам. инв. №	Подп. и дата					
Ли	Изм.	№ докум.	Подп.	Дат	БР 15.03.06 ПЗ				
					Лист				
					61				

движения воздуха, относительная влажность воздуха. Перечисленные параметры оказывают огромное влияние на функциональную деятельность оператора, его самочувствие и здоровье, а также на надежность работы оборудования рабочего места оператора.

Наиболее важное влияние оказывают тепловыделения:

- персональный компьютер (до 200 ккал/час на 1 м² площади);
- люминесцентные лампы (0.03 ккал/час на 1 м² площади на каждый люкс освещенности);
- обслуживающий персонал (до 130 ккал/час на чел.);
- теплота, поступающая через окна от солнечной радиации;
- приток теплоты через непрозрачные ограждающие конструкции (60-180 ккал/м²).

Согласно нормам производственного микроклимата (ГОСТ 12.1.005-88) воздух в рабочем помещении должен соответствовать следующим требованиям, приведенным в таблице 5.1.

Таблица 5.1 - Требования к воздуху в рабочем помещении

Период года	Параметр микроклимата	Величина
Холодный	Температура воздуха в помещении	22...24°C
	Относительная влажность	40...60%
	Скорость движения воздуха	до 0,1м/с
Теплый	Температура воздуха в помещении	23...25°C
	Относительная влажность	40...60%
	Скорость движения воздуха	0,1...0,2м/с

Инв. № подл.	Подп. и дата	Инв. № дубл.	Взам. инв. №	Подп. и дата						
Ли	Изм.	№ докум.	Подп.	Дат	БР 15.03.06 ПЗ					Лист
										62

6 Экономическое обоснование проекта

6.1 Стоимость оборудования

Рассчитаем общую стоимость оборудования, для этого рассчитаем стоимость установки и шкафа управления.

Таблица 6.1 – Стоимость установки

Наименование, кол-во	Стоимость, руб.
Частотный преобразователь 4 кВт, 1 шт	27000
Частотный преобразователь 0.4 кВт, 1 шт	10000
Датчик температуры канальный Pt1000, 2шт	4000
Датчик температуры накладной Pt1000, 2шт	4000
Датчик дифференциального давления 50-500 Па, 4 шт	14000
Датчик дифференциального давления 200-2000 Па, 2шт.	7000
Термостат водяного калорифера 6 м , 1 шт	5500
Привод воздушной заслонки, 6 шт	78000
Датчик температуры воздуха RTF1, 4 шт	8000
Датчик влажности RFF	13000
Водяной нагреватель, 1шт	26000
Нагреватель, 1 шт	120000
Приточная установка, 1шт	571590
Вытяжная установка, 1 шт	491290
Увлажнитель, 1 шт	65000
ИТОГО:	1444380

Ине. № подп	Подп. и дата	Ине. № дубл.	Взам. инв. №	Подп. и дата

Ли	Изм.	№ докум.	Подп.	Дат

БР 15.03.06 ПЗ

Лист

63

Таблица 6.2 – Стоимость шкафа управления

Наименование	Код	Изготовитель	Ед. измерен ия	Количес тво	Цена, евро	Цена, руб	Цена с НДС, руб	Стоимость с НДС, руб	Примеч ание
Шкаф компактный распределительный 800х600х250, IP65	R5ST0869	DKC	шт	1			6 156,05 P	7 079,46p.	
Автомат. выключатель, 3-пол., хар-ка C, 32А подключение под винт	5SL6332-7	Siemens	шт	1			1 373,73p.	1 579,79p.	
Автомат. выключатель, 3-пол., хар-ка C, 10А подключение под винт	5SL6310-7	Siemens	шт	4			1 210,18p.	5 566,83p.	
Автомат. выключатель, 1-пол., хар-ка C, 10А подключение под винт	5SL6110-7	Siemens	шт	1			286,22p.	329,15p.	
Автомат. выключатель, 1-пол., хар-ка C, 2А подключение под винт	5SL6102-7	Siemens	шт	1			366,18p.	421,11p.	
Автомат. выключатель, 1-пол., хар-ка C, 1А подключение под винт	5SL6101-7	Siemens	шт	8			366,18p.	3 368,86p.	
Автомат. выключатель, 1-пол., хар-ка C, 6А подключение под винт	5SL6106-7	Siemens	шт	2			346,65p.	797,30p.	
Доп. контакт к автомат. выключателям серии 5SL, 5SY, 5SP, подключение под винт 1НО+1НЗ контакт.	5ST3010	Siemens	шт	1			901,38p.	1 036,59p.	
SIMATIC S7-1200, КОМПАКТНОЕ ЦПУ CPU 1214C DC/DC/DC	6ES7214-1AG40-0XB0	Siemens	шт	1			28 530,39p.	32 809,95p.	
SIMATIC S7-1200, КОММУНИКАЦИОННАЯ СИСТЕМНАЯ ПЛАТА CB 1241, RS485	6ES7241-1CH30-1XB0	Siemens	шт	1			6 240,04p.	7 176,05p.	
SIMATIC S7-1200, МОДУЛЬ АНАЛОГОВОГО ВВОДА SM 1231RTD, 8-ВХОДОВЫЙ	6ES7231-5PF32-0XB0	Siemens	шт	1			23 649,74p.	27 197,20p.	
SIMATIC S7-1200, МОДУЛЬ АНАЛОГОВОГО ВЫВОДА SM 1232, 2 АО, +/-10В 14 БИТ	6ES7232-4HB32-0XB0	Siemens	шт	1			17 912,86p.	20 599,79p.	
Панель SIMATIC HMI KTP700 BASIC 2 TFT дисплей	6AV2123-2GB03-0AX0	Siemens	шт	1			50 449,02p.	58 016,37p.	
Промышленный коммутатор - FL SWITCH SFNB 5TX	2891001	Phoenix Contact	шт	1	€	66,92	4 856,38 P	5 730,53p.	6 590,11p.
Компактный релейный модуль 230 V AC	2966207	Phoenix Contact	шт	1	€	13,79	1 000,74 P	1 180,87p.	1 358,00p.
Компактное втычное согласующее реле 24 V DC, 2п контакта	LZS:RT4A4L24	Siemens	шт	4			713,09p.	3 280,21p.	
LOGO!Power 24V Стабилизированный блок питания вход: 100-240 В AC, выход: 24 В/2,5 А DC	6EP3332-6S800-0AY0	Siemens	шт	1			4 335,91p.	4 986,30p.	
Трансформатор для продолжительной нагрузки 220В 50Гц / 12+12В, 25ВА	TS 25/12-24 C	ABB	шт	1			1 492,22p.	1 716,05p.	
Кнопка грибовидная, аварийного останова, 1НЗ+1НО	XB7ES545P	Schneider Electric	шт	1			363,77p.	418,34p.	
Клемма проходная с винтовым подсоединением для предохранителя 0.14 - 4 мм2	8WH2000-1JG38	Siemens	шт	3			892,45 P	3 078,95p.	
Плавкая вставка 5х20мм, безинерционная 1.5А			шт	1			10,00p.	11,50p.	
Плавкая вставка 5х20мм, безинерционная 1.0А			шт	1			10,00p.	11,50p.	
Плавкая вставка 5х20мм, безинерционная 0.5А			шт	1			10,00p.	11,50p.	
Клемма проходная, серая, с пружинным подсоединением. 0.08-10мм²	3031487	Phoenix Contact	шт	3	€	0,70	50,80 P	59,94p.	206,80p.
Клемма проходная, синяя, с пружинным подсоединением. 0.08-10мм²	3031490	Phoenix Contact	шт	1	€	0,70	50,80 P	59,94p.	68,93p.
Заземляющий клеммный модуль, желто-зеленый, с пружинным подсоединением. 0.08-10мм²	3031500	Phoenix Contact	шт	1	€	1,75	127,00 P	149,86p.	172,34p.
Концевая крышка D-ST 6	3030433	Phoenix Contact	шт	1	€	0,22	15,97 P	18,84p.	21,67p.
Клемма проходная, серая, с пружинным подсоединением. 0.08-2,5мм²	3031212	Phoenix Contact	шт	25	€	0,30	21,77 P	25,69p.	738,58p.
Клемма проходная, синяя, с пружинным подсоединением. 0.08-2,5мм²	3031225	Phoenix Contact	шт	1	€	0,30	21,77 P	25,69p.	29,54p.
Заземляющий клеммный модуль, желто-зеленый, с пружинным подсоединением. 0.08-2,5мм²	3031238	Phoenix Contact	шт	4	€	1,03	74,75 P	88,20p.	405,73p.
Концевая крышка D-ST 2,5	3030417	Phoenix Contact	шт	6	€	0,22	15,97 P	18,84p.	129,99p.
Концевой стопор - CLIPFIX 35	3022218	Phoenix Contact	шт	8	€	0,42	30,61 P	36,12p.	332,30p.
Маркировочные таблички, плоские для клемм шириной 5,2 мм, без надписей	10S0004	Phoenix Contact	шт	1	€	0,28	20,32 P	23,98p.	27,57p.
Розетка одноместная с заземлением, 16А	MRD10-16	IEK	шт	1			127,84 P	147,02p.	
Провод монтажный черный 0,75 мм2	4510012	Lapp Kabel	м	50			13,00 P	747,50p.	
Провод монтажный черный 1,5 мм2	4520011	Lapp Kabel	м	30			18,90 P	652,05p.	
Провод монтажный чёрный 2,5 мм2		Lapp Kabel	м	20			30,73 P	706,79p.	
Провод монтажный желто-зелёный 0,75 мм2	4510002	Lapp Kabel	м	5			13,00 P	74,75p.	
Провод монтажный желто-зелёный 1,5 мм2	4520001	Lapp Kabel	м	5			18,90 P	108,68p.	
Провод монтажный желто-зелёный 2,5 мм2		Lapp Kabel	м	5			30,73 P	176,70p.	
Наконечники-гильзы с изолир.фланцем, 0,75 мм2, серый	2ART503	DKC	шт	100			1,20 P	137,60p.	
Наконечники-гильзы с изолир.фланцем, 1,5 мм2, серый	2ART505	DKC	шт	50			1,20 P	68,80p.	
Наконечники-гильзы с изолир.фланцем, 2,5 мм2, серый	2ART506	DKC	шт	50			3,37 P	193,61p.	
Двойные наконечники гильзы с изолир.фланцем, 0,75 мм2, серый	2ART5032	DKC	шт	50			2,59 P	149,07p.	
Двойные наконечники гильзы с изолир.фланцем, 2х1,5 мм2, серый	2ART5052	DKC	шт	20			2,59 P	59,63p.	
Двойные наконечники гильзы с изолир.фланцем, 2х2,5 мм2, серый	2ART5062	DKC	шт	20			9,93 P	228,28p.	
DIN - рейка OMEGA 3Af (35х15х1.5)	02150	DKC	м	4			154,49p.	710,65p.	
Короб перфорированный 40х60 серый	01107RL	DKC	м	8			149,90p.	1 379,08p.	
Жгут для кабеля, Spiralite P3 D.8*10.	00963	DKC	м	2			22,01p.	50,63p.	
Светильник с люминесцентной лампой, 6 Вт	LLPO02001106K01	IEK	шт	1			287,68p.	330,49p.	
Шина нулевая на DIN-рейку в корпусе 2х7 групп	YND10-2-07-100	IEK	шт	1			281,68p.	323,93p.	
Кабельный зажим с контрогайкой IP 68 PG 16	YSA20-14-16-54-K41	IEK	шт	5			15,71p.	90,33p.	
Кабельный зажим с контрогайкой IP 68 PG 13,5	YSA20-12-13-54-K41	IEK	шт	18			12,85p.	266,00p.	
Колечки маркировочные из ПВХ, диаметр 1,3-2,5 мм символ "0"	AZO2008Y	DKC	шт	50			1,37p.	78,50p.	
Колечки маркировочные из ПВХ, диаметр 1,3-2,5 мм символ "1"	AZO2018Y	DKC	шт	50			1,37p.	78,50p.	
Колечки маркировочные из ПВХ, диаметр 1,3-2,5 мм символ "2"	AZO2028Y	DKC	шт	50			1,37p.	78,50p.	
Колечки маркировочные из ПВХ, диаметр 1,3-2,5 мм символ "3"	AZO2038Y	DKC	шт	50			1,37p.	78,50p.	
Колечки маркировочные из ПВХ, диаметр 1,3-2,5 мм символ "4"	AZO2048Y	DKC	шт	50			1,37p.	78,50p.	
Колечки маркировочные из ПВХ, диаметр 1,3-2,5 мм символ "5"	AZO2058Y	DKC	шт	50			1,37p.	78,50p.	
Колечки маркировочные из ПВХ, диаметр 1,3-2,5 мм символ "6"	AZO2068Y	DKC	шт	50			1,37p.	78,50p.	
Колечки маркировочные из ПВХ, диаметр 1,3-2,5 мм символ "7"	AZO2078Y	DKC	шт	50			1,37p.	78,50p.	
Колечки маркировочные из ПВХ, диаметр 1,3-2,5 мм символ "8"	AZO2088Y	DKC	шт	50			1,37p.	78,50p.	
Колечки маркировочные из ПВХ, диаметр 1,3-2,5 мм символ "9"	AZO2098Y	DKC	шт	50			1,37p.	78,50p.	
Колечки маркировочные из ПВХ, диаметр 1,3-2,5 мм символ "L"	AZO21L8Y	DKC	шт	50			1,37p.	78,50p.	
Колечки маркировочные из ПВХ, диаметр 1,3-2,5 мм символ "G"	AZO2GG8Y	DKC	шт	50			1,37p.	78,50p.	
Колечки маркировочные из ПВХ, диаметр 1,3-2,5 мм символ "N"	AZO2NN8Y	DKC	шт	50			1,37p.	78,50p.	
Колечки маркировочные из ПВХ, диаметр 1,3-2,5 мм символ "+"	AZO2108Y	DKC	шт	50			1,37p.	78,50p.	
SIMATIC S7-1200, МОДУЛЬ АНАЛОГОВОГО ВВОДА, SM 1231, 8 AI	6ES7231-4HF32-0XB0	Siemens	шт	1			26 436,04 P	26 436,04 P	
							Итого	223 711,00p.	

Для получения общей стоимости оборудования сложим стоимость установки и шкафа управления.

$$C_{\text{общ}} = 1444380 + 223711 = 1668091 \text{ руб.} \tag{6.1}$$

Подп. и дата

Взам. инв. №

Инв. № дубл.

Подп. и дата

Инв. № подл

ЗАКЛЮЧЕНИЕ

В результате выполнения выпускной квалификационной работы достигнуты поставленные цели: приобретены практические навыки и компетенции самостоятельной работы в проектно-конструкторской и организационно-управленческой деятельности; получен опыт в проектировании системы управления климатом здания; разработана система климат контроля.

В первой главе выпускной квалификационной работы описан объект управления и рассчитана постоянная времени.

Во второй главе разработана математическая модель.

В третьей главе разработана адаптивная система управления с помощью внедрения идентификации и адаптивного регулятора на нейросети.

В четвертой главе внесены изменения в функциональную и принципиальную схемы, а так же подобраны датчики контроля температуры и влажности помещения.

В пятой главе рассмотрена безопасность и экологичность проекта.

В шестой главе рассчитана экономическая составляющая проекта.

По полученным результатам можно сделать вывод, что система климат контроля решает все поставленные задачи.

Инв. № подл	Подп. и дата	Инв. № дубл.	Взам. инв. №	Подп. и дата						
Ли	Изм.	№ докум.	Подп.	Дат	БР 15.03.06 ПЗ					Лист
										65

СПИСОК ИСПОЛЬЗУЕМЫХ ИСТОЧНИКОВ

1. ГОСТ 12.1.005-88 ССБТ. Общие санитарно-гигиенические требования к воздуху рабочей зоны. Общие требования безопасности. Введ. впервые; дата введ. 1989-01-01. - М.: Стандартинформ, 1989.-21 с.
2. Ханнанова В. Н. «Математическая модель системы регулирования температуры внутри помещения» 2013. -313 с.
3. Масальский Г. Б. Математические основы кибернетики: учебное пособие в 2-х частях. – Красноярск: Сиб. федер. ун-т, 2016. – 491 с.
4. Hadi Razmi, Atabak Mashhadi Kashtiban «Nonlinear PID-based analog neural network control for a two link rigid robot manipulator and determining the maximum load carrying capacity» 2012. -234 с.
5. ГОСТ 23592-96 МЕЖГОСУДАРСТВЕННЫЙ СТАНДАРТ Монтаж электрический радиоэлектронной аппаратуры и приборов ОБЩИЕ ТРЕБОВАНИЯ К ОБЪЕМНОМУ МОНТАЖУ ИЗДЕЛИЙ ЭЛЕКТРОННОЙ ТЕХНИКИ И ЭЛЕКТРОТЕХНИЧЕСКИХ;
6. *Инструкция* по охране труда при работе на сверлильных, расточных и отрезных станках ИОТ-020-2013;
7. Дипломный проект Зеленов Д. М. «Проектирование системы управления приточно-вытяжной вентиляцией Богучанской ГЭС».
8. ИНСТРУКЦИЯ по охране труда при работе с электроинструментом №28032014;
9. Датчики, противопожарные системы[Электронный ресурс] – Режим доступа: <http://sensormatica.ru>;
10. МОНТАЖ ЭЛЕКТРИЧЕСКИЙ РАДИОЭЛЕКТРОННОЙ АППАРАТУРЫ И ПРИБОРОВ ГОСТ 23594-79;
11. Техэксперт ГОСТы[Электронный ресурс] – Режим доступа: <http://cntd.ru>;

Инв. № подл	Подп. и дата	Инв. № дубл.	Взам. инв. №	Подп. и дата	<p>6. Инструкция по охране труда при работе на сверлильных, расточных и отрезных станках ИОТ-020-2013;</p> <p>7. Дипломный проект Зеленов Д. М. «Проектирование системы управления приточно-вытяжной вентиляцией Богучанской ГЭС».</p> <p>8. ИНСТРУКЦИЯ по охране труда при работе с электроинструментом №28032014;</p> <p>9. Датчики, противопожарные системы[Электронный ресурс] – Режим доступа: http://sensormatica.ru;</p> <p>10.МОНТАЖ ЭЛЕКТРИЧЕСКИЙ РАДИОЭЛЕКТРОННОЙ АППАРАТУРЫ И ПРИБОРОВ ГОСТ 23594-79;</p> <p>11.Техэксперт ГОСТы[Электронный ресурс] – Режим доступа: http://cntd.ru;</p>
Инв. №	Подп.	Инв. №	Взам. инв. №	Подп.	<p style="text-align: center;">БР 15.03.06 ПЗ</p>
Ли	Изм.	№ докум.	Подп.	Дат	

Лист

66

Федеральное государственное автономное
образовательное учреждение
высшего образования
«СИБИРСКИЙ ФЕДЕРАЛЬНЫЙ УНИВЕРСИТЕТ»
ПОЛИТЕХНИЧЕСКИЙ ИНСТИТУТ
РиТК
кафедра

УТВЕРЖДАЮ
Заведующий кафедрой
Г.Б. Масальский
подпись
« 13 » 06 2018 г.

БАКАЛАВРСКАЯ РАБОТА

15.03.06. Мехатроника и робототехника

Система управления климатом здания

Руководитель	<u>Г</u> подпись, дата	зав.каф. РТМ должность, ученая степень	<u>Г.Б. Масальский</u>
Студент	<u>Гендик - 13.06.18г.</u> подпись, дата		<u>Д.С. Гендик</u>
Нормоконтролер	<u>Куликова - 13.06.18г.</u> подпись, дата		<u>В.Н. Куликова</u>

Красноярск 2018